

УДК 551.281.3:56(11)(470.43)

ТЕРМИНАЛЬНЫЙ ПАЛЕОЦЕН СРЕДНЕГО ПОВОЛЖЬЯ: БИОСТРАТИГРАФИЯ И ПАЛЕООБСТАНОВКИ

© 2007 г. Т. В. Орешкина, Г. Н. Александрова

Геологический институт РАН, Москва

Поступила в редакцию 30.11.2005 г., получена после доработки 12.04.2006 г.

Впервые проведено комплексное изучение диатомей и морских палиноморф из ряда разрезов камышинского литостратотона Среднего Поволжья (Сенгилей-1, Сенгилей-2, Балашейка, Кузькино, скв. 38, скв. 50). Согласно полученным данным нижняя часть камышинского горизонта здесь соответствует зонам по диноцистам Северной Европы – Viborg Zone 4-Viborg Zone 5 (Heilmann-Clausen, 1985)/Alisto-cysta margarita (часть) – Apectodinium hyperacanthum (Powell, 1992). Его более высокие уровни отвечают диатомовым зонам *Trinacria ventriculosa* и *Hemiaulus proteus* (Стрельникова, 1992). Таким образом, камышинский седиментационный цикл в Среднем Поволжье соответствует в общей шкале интервалу NP8 (часть)–NP9. Установлено, что отложения этого цикла, представленные различными фациями терригенно-кремнистых пород (пески, диатомиты, опоки, глины) приурочены, главным образом, к восточной и юго-восточной частям изучаемого региона. Состав ассоциаций диатомей и морских палиноморф говорит о прибрежных палеообстановках с активным гидрологическим режимом и высокой продуктивностью вод. Выявлены различия в составе диатомовых комплексов в разных фациях. По динамике количественного соотношения экологических групп диатомей (соотношение *Paralia/Pyxidicula*) выделены три фазы танетской трансгрессии. При переходе от зоны *Trinacria ventriculosa* к зоне *Hemiaulus proteus* установлены значительные изменения в составе диатомовых комплексов: появление новых родов с морфологическими новациями (*Podosira*, *Craspedodiscus*, *Fenestrella*, *Moisseevia*, *Solum*, *Gyrocylindrus*), обновление состава родов *Pyxidicula*, *Trinacria*, *Hemiaulus*. По-видимому, эта перестройка обусловлена проявлением глобального биотического кризиса при переходе от палеоцену к эоцену, связанного с термическим максимумом на границе палеоцен–эоцен, с негативным углеродным событием, вымиранием бентосных групп фауны.

Ключевые слова. Биостратиграфия, палеоцен, камышинский горизонт, морские диатомеи, морские палиноморфы.

ВВЕДЕНИЕ

Территория Среднего Поволжья является стратотипическим районом распространения палеоценовых отложений в терригенно-кремнистых фациях с диатомовыми, силикофлягеллятами и радиоляриями прекрасной сохранности. С одной стороны, это открывает большие возможности для детального изучения кремневого планктона палеоцена, с другой стороны, практически полное отсутствие карбонатного планктона затрудняет уверенное сопоставление с общей магнито-биохронологической шкалой и с контекстом глобальных геологических событий. Одним из реальных путей решения этой проблемы является комплексное изучение диатомовых водорослей и морских палиноморф, которое позволяет проводить более обоснованные корреляции с общей шкалой и реконструировать палеообстановки, используя более представительный массив палеоэкологических показателей. В предлагаемой статье проанализированы биостратиграфическое распространение диатомей и морских палиноморф,

изменения экологической структуры комплексов, биостратиграфический потенциал изученных комплексов микрофоссилий в разных фациях терригенно-кремнистых пород позднего палеоцена.

СТРАТИГРАФИЯ ПАЛЕОЦЕНА СРЕДНЕГО ПОВОЛЖЬЯ

Стратиграфическое расчленение палеогеновых отложений Среднего Поволжья и их сопоставление с сопредельными регионами Нижнего Поволжья и Прикаспия на протяжении многих десятилетий вызывают непрекращающиеся дискуссии. Это вызвано особенностями геологического строения краевой зоны эпиконтинентального бассейна (рис. 1, 2) – пестротой фациального состава, невыдержанностью фаций по простиранию (резкие фациальные переходы наблюдаются на расстоянии нескольких километров), слабой охарактеризованностью карбонатным планктом и макроостатками. История стратиграфиче-

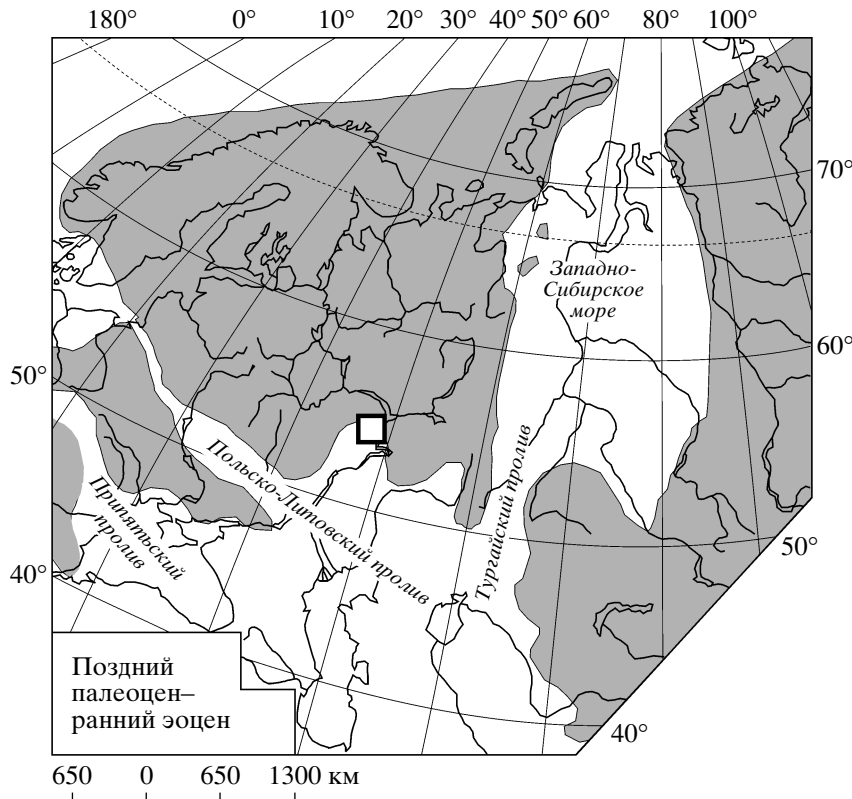


Рис. 1. Палеогеографическая схема северо-восточного сектора Перитетиса в позднем палеоцене (по разным источникам) и местоположение района исследований.

ского расчленения палеоцена Поволжья подробно рассмотрена в статье Г.Н. Александровой (2001).

Очередной этап стратиграфического изучения этой территории отражен в Унифицированной стратиграфической схеме Поволжско-Прикаспийского региона (Постановления МСК, 2001), где были учтены полученные за последние годы биостратиграфические данные (куратор Ульяновско-Сызранской зоны Е.Г. Сидоров). Согласно этой схеме в палеоцене выделяются следующие литостратоны: верхнесызранский с сосновской толщей (даний–зеландий; NP4-NP5), саратовский (зеландий–танет; NP5-NP8), камышинский (танет; NP9) (Ахметьев, Беньяковский, 2003).

Терминальному танету соответствует камышинский горизонт (мощностью до 40–60 м), завершающий палеоцен. Этот интервал характеризуется накоплением глин, опок и диатомитов, которые вверх по разрезу сменяются глинистыми и кварцевыми опоками, песками и песчаниками. В подошве камышинской свиты часто наблюдается региональный маркирующий слой – “камышинская плита”, представленная конгломерато-видным сливным глауконитовым песчаником мощностью 0.5–2.5 м. Отложения камышинского

горизонта несогласно перекрываются осадками калининского горизонта эоцена, представленными переслаиванием маломощных прослоев опок, глин, песков и песчаников.

ИСТОРИЯ ИЗУЧЕНИЯ ДИАТОМЕЙ И МОРСКИХ ПАЛИНОМОРФ СРЕДНЕГО ПОВОЛЖЬЯ И ЗОНАЛЬНЫЕ БИОСТРАТИГРАФИЧЕСКИЕ ШКАЛЫ ПАЛЕОЦЕНА

Диатомеи Среднего Поволжья вызывали таксономический интерес европейских диатомологов с середины 19-го века (Ehrenberg, 1854; Weisse, 1854; Wessflog in Schmidt, 1874–1999; Van Heurck, 1880–1881; Grunow, 1884; Pantocsek, 1836–1893; Witt, 1886).

Началом изучения диатомей Поволжья в стратиграфических целях можно считать работы отечественных исследователей А.Б. Миссуны (Рогозин, 1913) и Н.В. Анисимовой (Диатомовый анализ, 1949–1950). Основы зональной стратиграфии были заложены А.П. Жузе, которой впервые были описаны комплексы диатомей Поволжья (Диатомовый анализ, 1949–1950) и проведено их сравнение с известными местонахождениями Европы и Зауралья. Большое значение для страти-

графии этого региона имеют работы З.И. Глазер (1979; Глазер и др., 1977), которая установила стратиграфическую последовательность диатомей и придала ей ранг зональных подразделений. Однако привязка выделенных подразделений к общей шкале через возраст литостратонов, датированный по пыльцевым спектрам и моллюскам, привел к значительному омоложению возраста комплексов с позднепалеоценового на нижне-среднеэоценовый. В дальнейшем возраст палеоценовых зон корректировался при опосредованных корреляциях с океаническими отложениями (Жузе, 1982; Козлова, Стрельникова, 1984; Стрельникова, 1992; Глазер, 1993, 1994, 1995). Для регионального биостратиграфического расчленения большое значение имеют работы Н.И. Афанасьевой (1980, 1981, 2001, 2005). Последние варианты зональной диатомовой шкалы и корреляция со шкалами по другим группам планктона приведены в Унифицированной стратиграфической схеме по югу Русской платформы (Ахметьев, Беньяновский, 2003) и в работе Э.П. Радионовой с соавторами (Radionova et al., 2003). Для изучения диатомовых сукцессий терминального палеоцена также использовался комплексный биостратиграфический и палеоэкологический подходы (Орешкина, 2003; Khokhlova, Oreshkina, 1999; Oreshkina, Oberhänsli, 2003).

Споро-пыльцевые комплексы из палеогеновых отложений Среднего Поволжья изучались Т.А. Кузнецовой (1965, 1970, 1973; Глазер, Кузнецова, Афанасьева, 1977), предложившей критерии четкого разделения комплексов на ранне- и позднепалеоценовые.

Диноцисты на территории Среднего Поволжья до настоящего времени не изучались. В Нижнем Поволжье диноцисты были выделены из эоценовых отложений Саратовской области (Мусатов, Запорожец, 2000) и из палеоценовых отложений Волгоградской области (Александрова, 1999, 2001).

МАТЕРИАЛЫ И МЕТОДЫ

Основой статьи является полевой материал, собранный сотрудниками ГИН РАН в период с 1993 по 2003 гг. Обработка материалов на микропланктон и палиноморфы проводилась по стандартной методике (Диатомовые водоросли СССР, 1974; Пыльцевой анализ, 1950), модифицированной в Геологическом институте РАН. Всего было обработано около 80 образцов из разрезов скв. 38, 50, Балашиха, Кузькино, Сенгилей-1, Сенгилей-2, расположенных в восточной части правобережья Средней Волги. Для интерпретации изменений диатомовых комплексов разреза Сенгилей были использованы полученные ранее данные по количественному соотношению эко-

логически значимых таксонов и гранулометрическому анализу диатомитов (Oreshkina, Oberhänsli, 2003). Зональное расчленение по диатомеям проведено по зональной шкале внетропической области по версии Н.И. Стрельниковой (1992). Практика изучения диноцист показала, что для расчленения с успехом применяются зональные шкалы, разработанные для Северного моря и Датского бассейна (Heilmann-Clausen, 1985, 1994; Powell, 1992). Использование шкалы Mudge, Buijak (1996) для Северного моря, методически базирующейся на датировочных уровнях, вызывает определенные трудности, связанные со спецификой краевых фаций Поволжского бассейна.

БИОСТРАТИГРАФИЯ И ПАЛЕООБСТАНОВКИ СРЕДНЕГО ПОВОЛЖЬЯ ПО ДИАТОМЕЯМ И ПАЛИНОМОРФАМ

Диатомеи и морские палиноморфы изучены авторами в нескольких разрезах Ульяновско-Сызранской структурно-фацальной зоны, отражающих все разнообразие фаций позднего палеоцена – от биогенных (диатомиты) до кремнистых песков. Это разрезы Сенгилей-1 (карьер Граное Ухо), Сенгилей-2 (карьер Цементного завода), Балашиха (опоковый карьер), разрезы Кузькино и скв. 50 и 38 (рис. 2).

Разрез Сенгилей-1

В диатомитах из этого известного разреза наиболее полно представлены диатомовые сукцессии терминального палеоцена. Разрез расположен примерно в 7 км к северо-западу от пос. Сенгилей (около 400 м над уровнем моря). Он представляет собой 40-метровый холм, имеющий местное название Граное Ухо. В обнажении выделяются следующие литологические подразделения (рис. 3):

Пачка 1. В основании разреза залегает пачка темно-серых окремненных глауконитовых песчаников – так называемая “камышинская плита”, характерный маркирующий горизонт Среднего Поволжья. Песчаники тонкослоистые с линзами кремнистых глин; мощность 4–4.5 м; остатков микрофоссилий не найдено. Вышележащая линза диатомитов, подразделенная на две пачки (2 и 3), отнесена к камышинскому горизонту.

Пачка 2. Белые, неслоистые массивные диатомиты, с прослойками более серых оттенков, местами с включениями глауконита. Мощность около 22 м. В образцах 109–72 присутствуют хорошо сохранившиеся остатки диатомей, силикофлягеллят и радиолярий.

Пачка 3 представлена светло-серыми, массивными глинистыми диатомитами, залегающими без видимого несогласия мощностью, около 7 м. В образцах 71–57

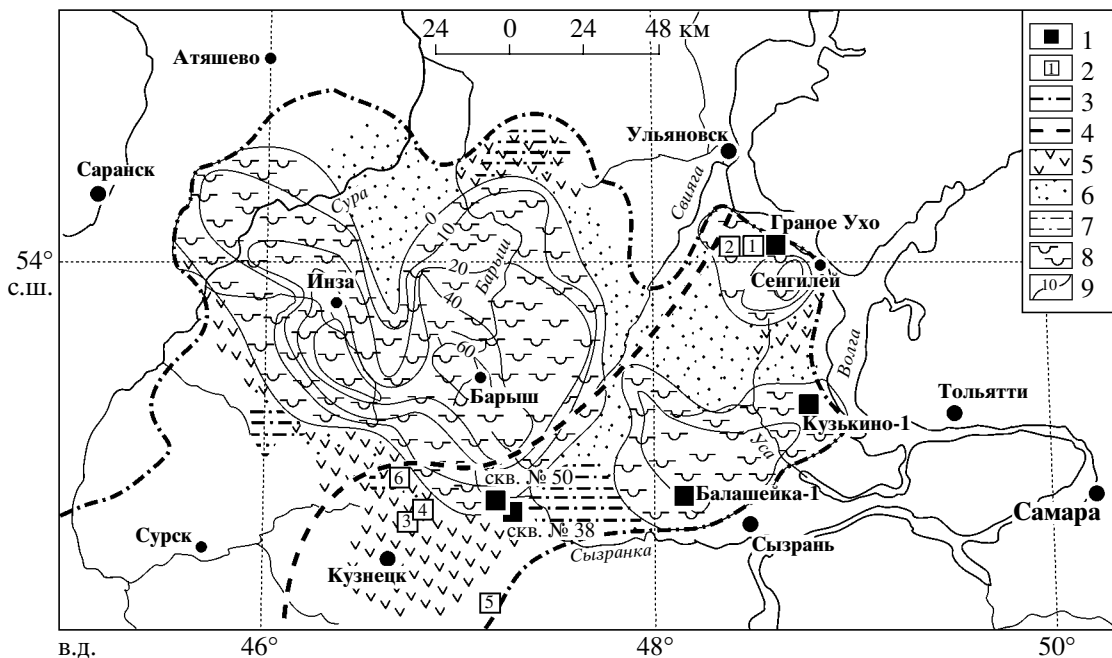


Рис. 2. Распространение и состав палеогеновых отложений в Среднем Поволжье (по Дистанову, 1970) и местоположение изученных разрезов:

1 – изученные авторами; 2 – известные по литературе: 1 – скв. 29, Каранино (Глазер, 1977), 2 – Артюшково (Глазер и др., 1977; Афанасьева, 2001), 3 – Рызлей (Глазер и др., 1977; материалы Симбирской ГРЭ), 4 – Ахметлей (материалы Симбирской ГРЭ), 5 – скв. с-2, Ращановка, Павловский р-н (материалы Симбирской ГРЭ), 6 – Кузнецкая котловина (Диатомовый анализ, 1949); 3 – максимальная граница береговой линии палеоценового моря (по Дистанову, 1970); 4 – предполагаемая граница позднепалеоценовой трансгрессии (по данным авторов); 5 – опоки; 6 – пески; 7 – алевролиты; 8 – диатомиты; 9 – изолинии мощностей диатомитов (м).

обнаружены диатомеи, силикофлягелляты и радиолярии хорошей сохранности.

Несогласно залегающая пачка 4, отнесенная к калининской свите, представлена переслаиванием песчанистых буро-зеленых глин, серо-зеленых кремнистых песчаников, коричневатых песчанистых опок, темно-серых опок. Мощность 11 м. Микрофоссилии не найдены.

Гранулометрический анализ диатомитов показывает (Oreshkina, Oberhänsli, 2003), что в средней части диатомитов (образцы 94–69) содержание фракций 65–125 мкм и >125 мкм имеет тренд к увеличению до 30% по весу. Наибольшее содержание относительно более грубой фракции (>125 мкм) наблюдаются в интервале образцов №№ 73–60.

Комплекс диатомеи, установленный в нижней трети толщи диатомитов (обр. 109–66) характерен для зоны *Trinacria ventriculosa*. Основание зоны не определено, но известно (Стрельникова, 1992), что такие зональные маркеры, как *Trinacria mirabile* Jouse, *Grunowiella gemmata* (Grunow) Van Heurck отсутствуют в комплексах диатомеи нижнепалеоценового сызранского горизонта. Зональный комплекс (табл. I, II) характеризуется стабильным присутствием *Trinacria mirabile* Jouse, *Grunowiella gemmata* (Grunow) Van Heurck, *Thalas-*

siosiropsis wittiana (Pantocsek) Hasle, *Trinacria ventriculosa* Schmidt, *Pyxidicula ferox* (Greville) Strelnikova et Nikolaev. Вверх по разрезу наблюдается постепенное обогащение комплекса новыми элементами, при одновременном снижении численности *P. ferox*, *T. ventriculosa*, *T. wittiana*. Отмечается появление целого ряда новых элементов, как на родовом, так и на видовом уровнях. Отмечено появление четырех новых родов – *Solium*, *Craspedodiscus*, *Fenestrella*, *Moisseevia*. Характерно, что эти роды на рассматриваемом стратиграфическом интервале являются монотаксонными. Заканчивают свое развитие меловые *Kentrodiscus*, *Lepidodiscus*. Значительно обновляется состав комплекса на видовом уровне. Появляются *Medlinia sandbyensis* (Simonsen) Sims, *Trinacria kinkeri* A. Schmidt, *T. cornuta* (Greville) Sims et Ross, *T. regina* Heiberg, *Pseudopodosira anissimovae* (Gleiser et Rubina) Strelnikova, *Pyxidicula moelleri* (Schmidt) Strelnikova et Nikolaev. В составе рода *Hemiaulax* отмечено появление *H. incurvus* Shibikova, *H. inaequilaterus* Gombos, *H. curvatulus* Strelnikova, *H. dubius* Grunow, *H. danicus* Grunow, *H. lobatus* Greville, *H. polymorphus* var. *glacialis* (Grunow) Hustedt sensu Fenner (1994), *H. aff. incisus* Hajos. Наряду с *Grunowiella gemmata* появляется еще один вид этого рода *G. paleocaenica* Jousé. Кроме того,

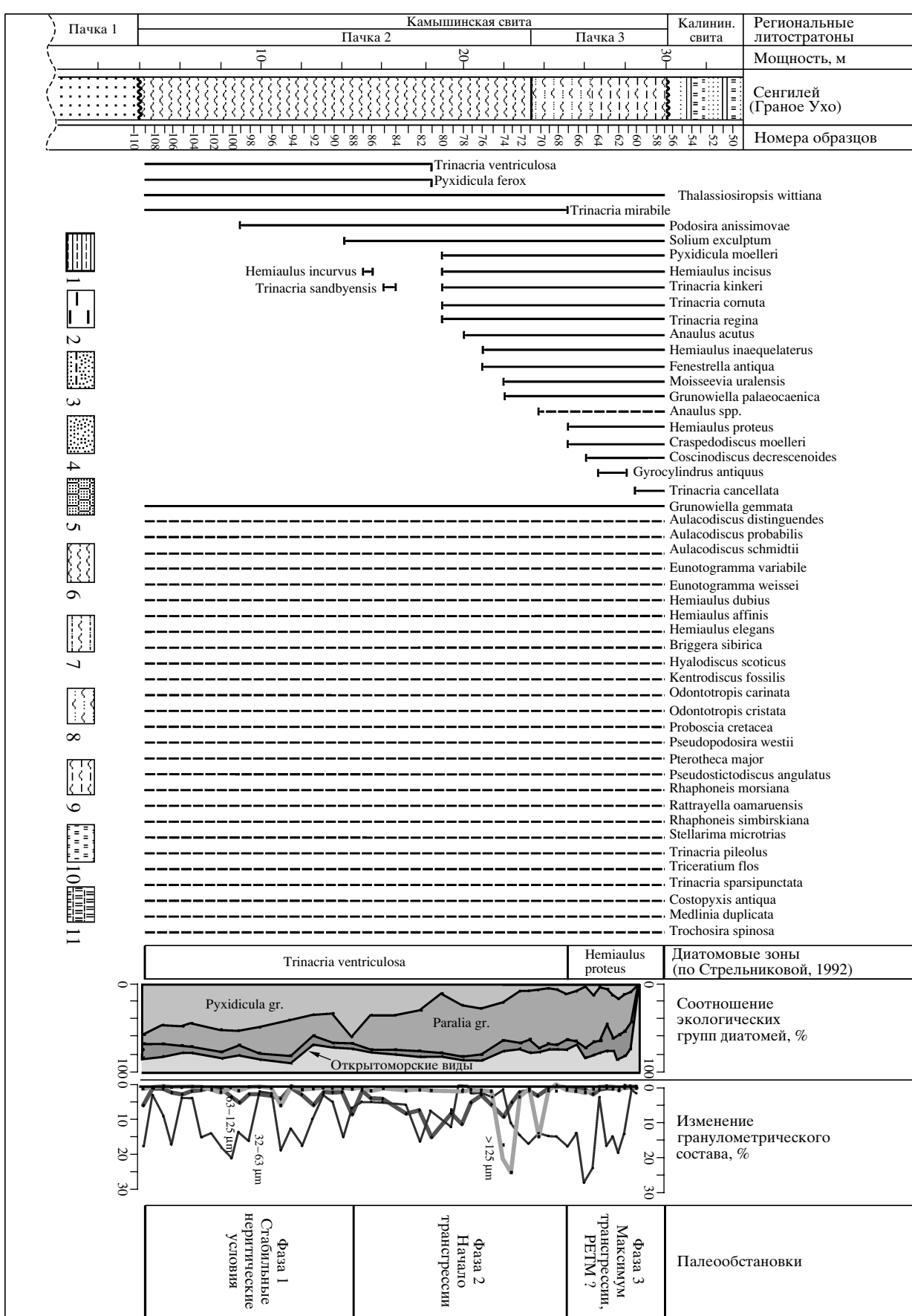
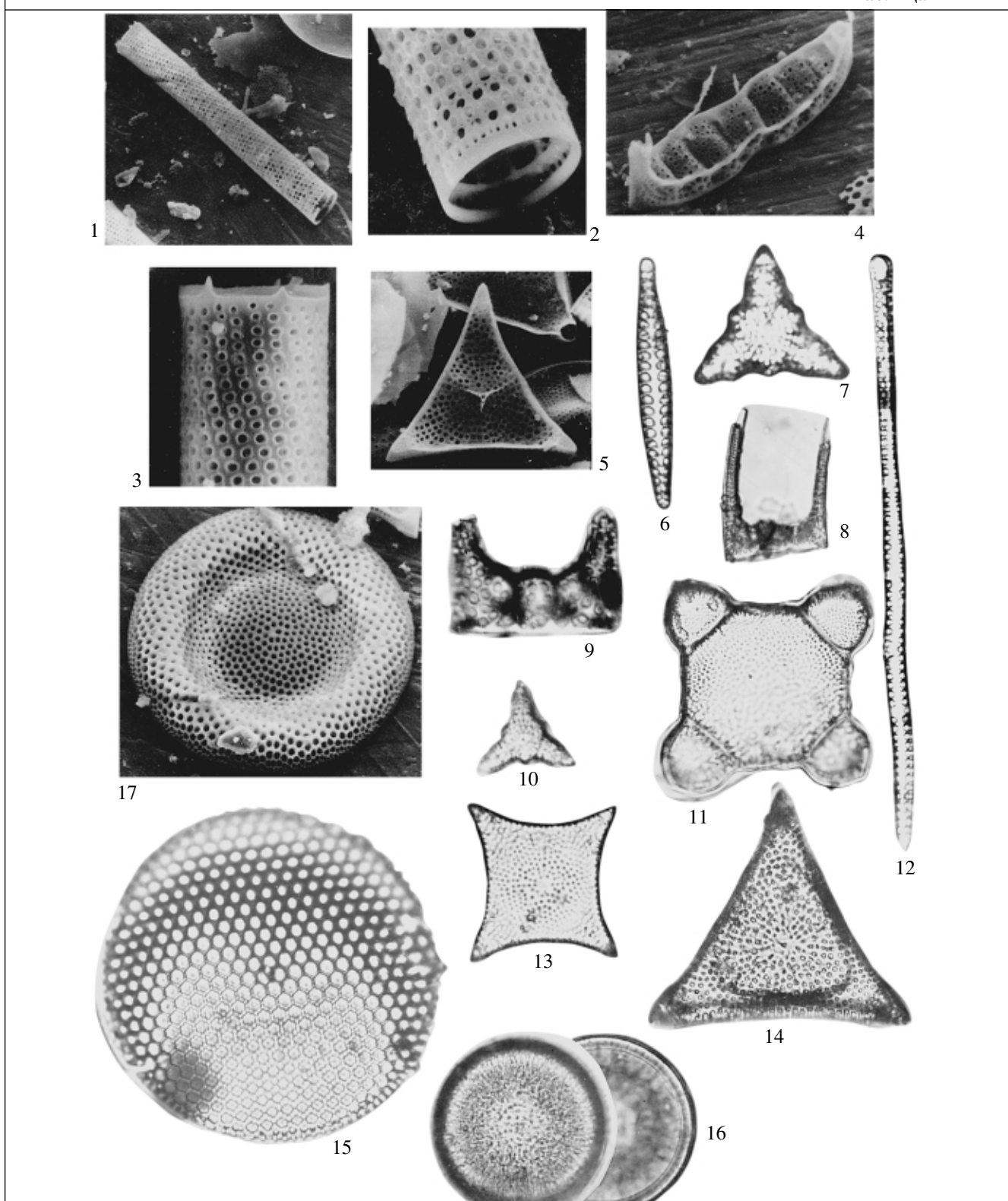


Рис. 3. Распространение диатомей в разрезе Сенгилей (Граное Ухо). PETM (Paleocene-Eocene Thermal Maximum) – палеоцен-эоценовый термический максимум. 1 – ариллиты; 2 – глины; 3 – глинистые пески; 4 – пески; 5 – пестраники; 6 – диатомиты; 7 – песчанистые диатомиты; 8 – глинистые опоки; 9 – глинистые опоки.

Таблица I



отмечается появление представителей рода *Anaulus* и таксона с неясной родовой принадлежностью, близкого к роду *Cortinocornus*, характерного для мела и нижнего палеоцена (табл. I–II). Род *Anaulus*, известный с верхнего мела, представлен видом, близким к *A. acutus* Brun, был впервые описан из миоценовых отложений Японии (Brun, 1886). Близкий по морфологии таксон отмечался также в отложениях раннего палеоцена Антарктиды (Harwood, 1987) и в эоцене Норвежского моря (Schrader, Fenner, 1977). Характерно, что появление представителя этого рода *Anaulus fennerae* Fourtanier отмечено и при переходе от палеоцена к эоцену в южном секторе Антарктики (Fourtanier, 1991).

Основание зоны *Hemiaulus proteus*, установленной в верхней части диатомитовой толщи, проведено по появлению зонального вида-индекса в верхней части толщи диатомитов (обр. 66–56). Основные черты этой зоны – вспышка численности *Trinacria* (Greville) Sims et Ross и появление рода *Gyrocylindrus* Strelnikova et Nikolaev. Новый элемент комплекса – *Trinacria cancellata* (=*Triceratium heibergii* Grunow sensu Gombos (1984) представляет линию развития группы *Trinacria* с папиллоформными выростами, которая была широко распространена в раннем палеоцене. Характерно, что асце *Trinacria cancellata* отмечена в Капском бассейне Южного океана примерно в средней части зоны NP 9 (Gombos, 1984). Крайне узкий стратиграфический диапазон (по мощности составляющий 2–3 м диатомитов) имеет род *Gyrocylindrus* Strelnikova et Nikolaev (Стрельникова, Николаев, 1995) (=*Cylindrospira* Mitlehner, 1995; =*Puxilla multiseptata* Gleser (Глазер, 1995), отличающийся специфической морфологией створки. Присутствие соединительных шипов на вершине створки позволяет предположить его связь с порядком *Bidulphiales* (Николаев, Харвуд, 2002). По имеющимся данным, *G. antiquus* является эндемиком европейской части Перитетиса и известен в настоящее время только из двух местонахождений – Сенгилея и формации Фур Северной Дании (Стрельникова, Николаев, 1995; Mitlehner, 1995). В основании зоны отмечается сокращение численности *Thalassiosiopsis wittiana*, *Trinacria ventriculosa*, *Pyxidicula ferox*, *Trinacria mirabile*. Спора-

дически встречены пресноводные диатомеи *Aulacosira* spp., *Navicula* spp.

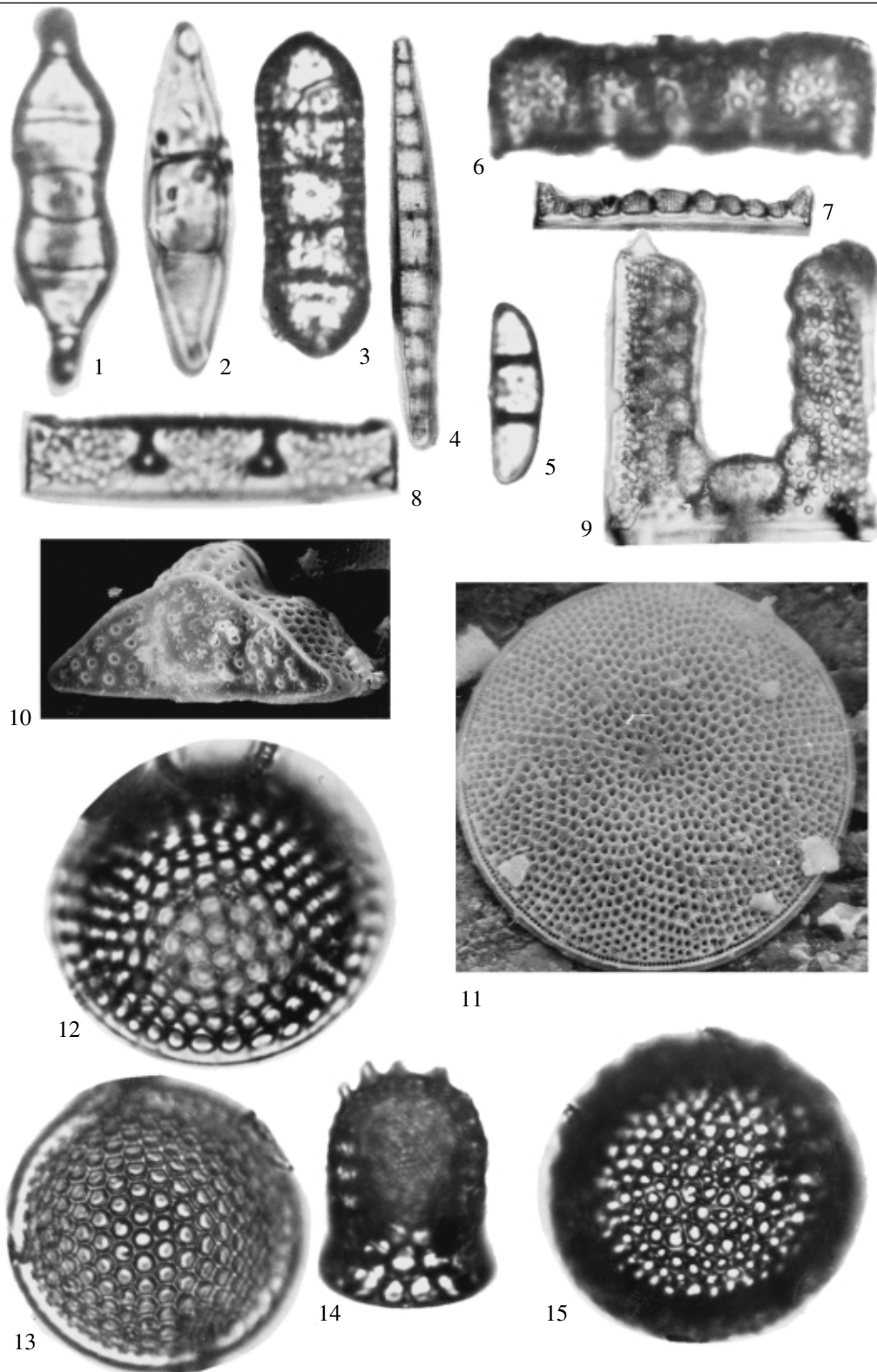
Диатомовые ассоциации разреза Сенгилея насчитывают более 80 видов (Khokhlova, Oreshkina, 1999). Наиболее многочисленную и разнообразную в видовом отношении группу составляют неритические виды. Эта группа, в свою очередь, состоит из тихопелагических и меропланктонных видов, а также группы так называемых родоспор. Тихопелагические виды, обитающие как в придонных, так и в поверхностных водах, представлены живущими и ныне родами *Hyalodiscus*, *Actinoptychus*, *Paralia*, а также близкими к ним по экологии ископаемыми родами *Anuloplicata*, *Trochosira*, *Pseudopodosira*, *Podosira*. Незначительная роль в комплексе принадлежит бентосным диатомеям, среди которых отмечены роды *Pseudostictodiscus*, *Aulacodiscus*, *Raphoneis*. Меропланктонные виды, имеющие стадию покоящихся спор, представлены родами *Puxidicula*, *Stellarima*. Роды-споры, сохраняющиеся в осадках только в виде спор с неясной родовой принадлежностью, представлены *Odonthotropis*, *Pterotheca*, *Pseudopyxilla*, *Kentrodiscus*, *Xanthiopyxis*. По-видимому, к прибрежным областям тяготеют *Trinacria*, *Medlinia*, *Anaulus*, *Solium*, *Odontella*, *Eunotogramma*. К группе открытоморских видов можно отнести *Hemiaulus*, *Grunowiella*, *Proboscia*, *Moisseevia*, *Coscinodiscus*, *Thalassiosiopsis*, *Craspedodiscus*, *Rhizosolenia*, *Triceratium*.

Анализ количественного соотношения доминирующих групп диатомей (рис. 3) показывает, что в целом образование диатомитов Сенгилея происходило в прибрежных высокопродуктивных водах с доминированием неритических диатомей. На этом фоне снизу вверх по разрезу наблюдается отчетливый тренд в соотношении доминантных групп диатомей. В нижней части диатомитовой толщи доминирует группа меропланктонных *Puxidicula* и *Trochosira*. Открытоморские элементы представлены *Trinacria mirabile* и *Grunowiella gemmata*. В средней части толщи происходит постепенное усиление группы тихопелагических *Paralia*/*Anuloplicata* и, вероятно, близкого к ним по экологическим параметрам рода *Pseudopodosira*. Одновременно снижается роль рода *Puxidicula*. В верхней части толщи наблюда-

Таблица I. Диатомеи позднего палеоцена Среднего Поволжья.

1–3 – *Gyrocylindrus antiquus* Strelnikova et Nikolaev, Сенгилей, обр. 67, ×2500; 4 – *Hemiaulus proteus* Heiberg, Сенгилей, обр. 61, ×1000; 5 – *Trinacria cancellata* (Greville) Sims et Ross (=*Triceratium heibergii* Grunow sensu Gombos, 1978), Сенгилей, обр. 58, ×850; 6 – *Grunowiella gemmata* (Grunow) Van Heurck, Сенгилей, обр. 100, ×1200; 7, 10 – *Trinacria mirabile* Jouse, Сенгилей, обр. 100, ×1000; 8 – *Hemiaulus curvatulus* Strelnikova, Сенгилей, обр. 58, ×750; 9 – *Hemiaulus polymorphus* var. *glacialis* (Grunow) sensu Fenner, 1994, Балашейка, обр. 112, ×850; 11 – *Solium excultum* Heiberg, Сенгилей, обр. 58, ×1000; 12 – *Grunowiella palaeocaenica* Jouse, Сенгилей, обр. 58, ×1200; 13 – *Trinacria cornuta* (Greville) Sims et Ross, Сенгилей, обр. 61, ×1000; 14 – *Trinacria ventriculosa* Schmidt, Сенгилей, обр. 100, ×1200; 15 – *Thalassiosiopsis wittiana* (Pantocsek) Hasle, Сенгилей, обр. 100, ×1200; 16 – *Podosira anissimovae* (Gleser) Strelnikova et Nikolaev, Сенгилей, обр. 85, ×1000; 17 – *Craspedodiscus moelleri* A. Schmidt, Сенгилей, обр. 58, ×500.

Таблица II



ется увеличение количества и таксономического разнообразия на видовом и родовом уровнях открытоморских видов, в частности, увеличивается численность *Hemiallus* и *Grunowiella*. Более широко представлены роды *Proboscia*, *Coscinodiscus*, *Grunowiella*, *Trinacria*, характерно появление представителей новых, в основном монотипных родов – *Solum*, *Moisseevia*, *Craspedodiscus*, *Fenestrella*, *Anaulus*, *Gyrocylindrus*. Спорадически отмечается присутствие пресноводных форм, близких к родам *Navicula* и *Aulacosira*, относительно возрастает роль бентосных родов *Raphoneis*, *Rutilaria*, *Pseudostictodiscus*.

Выявленные тенденции, скорее всего, отражают три фазы развития бассейна (рис. 3) – относительно стабильную (фаза 1), начало трансгрессии (фаза 2) и ее максимум (фаза 3). Начальная стадия трансгрессии характеризуется доминированием группы тихопелагических *Paralia/Anuloplicata*, бентосных видов, спорадическим присутствием в комплексе пресноводных видов. Как показывают исследования вида *Paralia sulcata* в субрецентных ассоциациях голоценовой трансгрессии (McQuoid, Hobson, 1998; Zong, 1997), увеличение численности этого вида совпадает с подъемом уровня моря и изменением положения береговой линии. Кроме того, рост численности этого вида коррелируется с увеличением содержания C_{org} и температуры водной среды. Появление открытоморских видов маркирует условия максимума трансгрессии (фаза 3). Появление целого ряда новых родов, в том числе и монотипных с крайне узким интервалом распространения и морфологическими новациями, свидетельствует о специфических палеообстановках.

Количественный анализ изменения соотношения доминантных групп диатомей (в частности, соотношение *Paralia/Pyxidicula*), а также данные по гранулометрическому анализу диатомитов указывают на смену стабильных неритических условий началом и затем максимумом трансгрессии, усилением межбассейновой циркуляции, возможным потеплением поверхностных вод.

Выделение диноцист из диатомитов Граного Уха не дало положительного результата.

Разрез Сенгилей-2

В карьере Цементного завода, расположеннном в 2 км к югу от разреза Граное Ухо, вскрывается контакт маастрихта и палеогена (рис. 4). Описание разреза дано по материалам, любезно переданным Ю.О. Гавриловым (неопубликованные данные). Разрез снизу вверх представлена:

Пачка 1. Мергель, сравнительно мягкий, светло-серый, со слабой биотурбацией мощностью 1 м.

Пачка 2. Контакт с нижележащей пачкой резкий. Пачка представлена кремнистыми, в основном серыми глинами, с ходами илоедов, с линзочками косослоистого алевритистого материала. Видимая мощность около 2 м.

В данном разрезе выше границы мела и палеогена (обр. Pg-1, Pg-2 из пачки 2) установлен комплекс диноцист, уверенно коррелирующийся с комплексом зоны *Viborg zone 4* (Heilmann-Clausen, 1985) и зоны *Alisocysta margarita* (Powell, 1992) на основании присутствия вида-индекса (рис. 4). В целом состав диноцист в установленном комплексе беден, как в систематическом, так и в количественном отношениях. Диатомеи из этих образцов выделить не удалось. Геологическая ситуация и полученные по диноцистам данные говорят о том, что эти отложения следует относить скорее к саратовскому, а не к камышинскому седиментационному циклу.

Разрез Балашейка-1 (опоковый карьер)

Опоковый карьер расположен (рис. 5, 8) в 1, 2 км юго-восточнее с. Балашейка (Самарская область). В карьерной выемке снизу вверх вскрываются:

Пачка 1 (мощность более 2 м). Опока зеленоватобурая, пятнистая, оскольчатая, ожелезненная, неравномерно опесчаненная, местами очень крепкая.

Пачка 2 (мощность 1.5 м). Опока глинистая, бурокоричневая, тонко трещиноватая, по трещинам ожелезненная, вверху более плотная.

Пачка 3 (мощность 1.8 м). Опока на сколе черная, плотная, сильно трещиноватая. Оскольчатая, по трещинам сильно ожелезненная, голубовато-серая в выветрелом состоянии, в верхней части переходит в глины.

Таблица II. Диатомеи позднего палеоцена Среднего Поволжья.

- 1 – *Anaulus acutus* Brun, Балашейка, обр. 106, $\times 2000$; 2, 8 – *Anaulus* sp. 2, Балашейка, обр. 112, $\times 2000$; 3, 6 – *Anaulus* sp. 1, Балашейка, обр. 106, $\times 2000$; 4, 7 – *Anaulus* sp. 3, Балашейка, обр. 67, $\times 1200$; 9 – *Hemiallus incurvus* Shikova, Сенгилей, обр. 85, $\times 1000$; 10 – *Eunotogramma weissei* Ehrenberg, Сенгилей, обр. 100, $\times 1200$; 11 – *Moisseevia uralensis* (Jouse) Strelnikova (=*Aulacodiscus suspectus* Schmidt = *Coscinodiscus uralensis* Jouse), Сенгилей, обр. 58, $\times 1200$; 12 – *Pyxidicula moelleri* (Schmidt) Strelnikova et Nikolaev, скв. 50, обр. 2523а, $\times 2000$; 13 – *Pyxidicula weyprechtii* Grunow, Балашейка, обр. 112, $\times 1200$; 14 – *Pyxidicula turris* Greville et Arnott, Балашейка, обр. 106, $\times 1200$; 15 – *Stephanopyxis discrepans* Hanna, скв. 50, обр. 2325а, $\times 2000$.

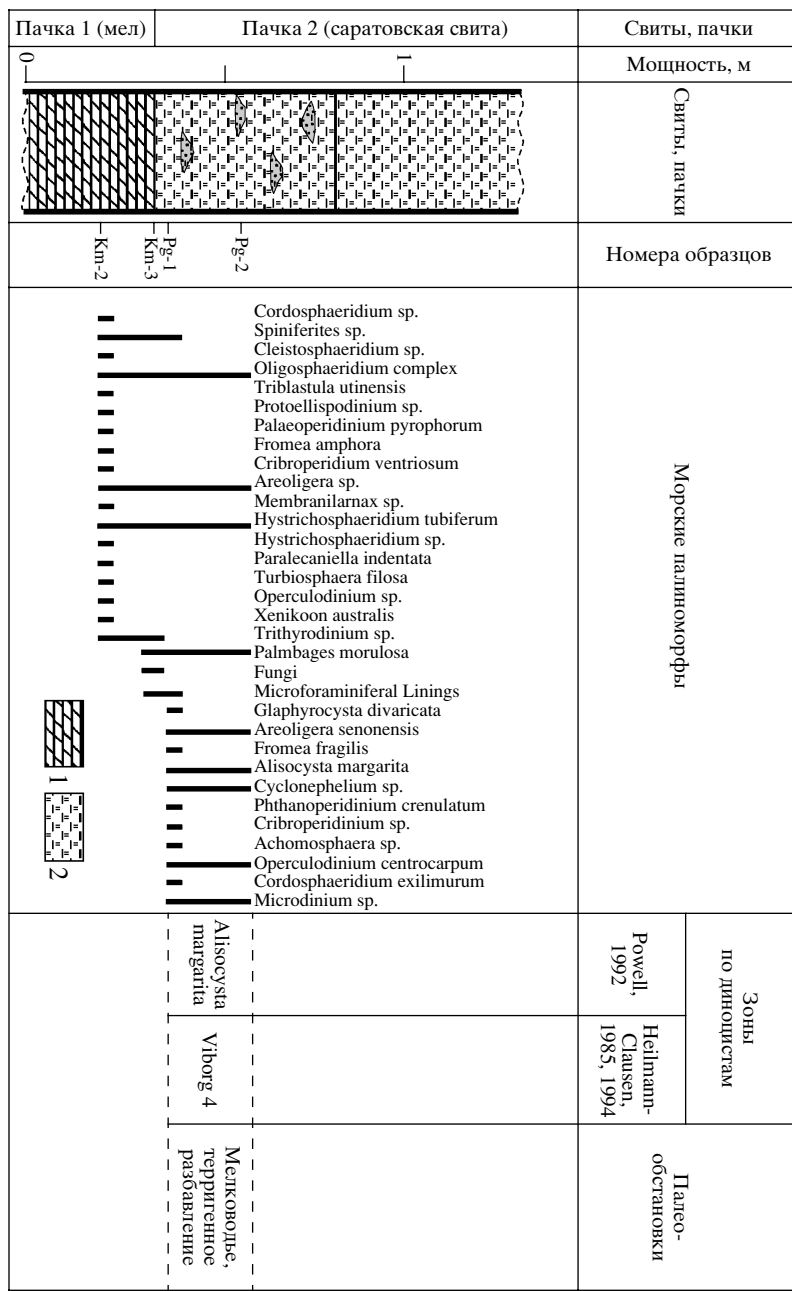


Рис. 4. Распространение морских палиноморф в разрезе Сенгилей-2.
1 – Мергели; 2 – кремнистые глины.

Рис. 5. Распространение диатомей в разрезе Балашейка-1.
Условные обозначения см. на рис. 3.

Пачка 4 (мощность 1 м). Опока темно-серая (возможно, кровля пачки 3), оскольчатая, постепенно переходящая в вышележащую пачку 5.

Пачка 5 (мощность около 9 м) представлена в нижней части опокой глинистой, зеленовато-серой, белесой в выветрелом состоянии, слабо опесчененной. Сменяется опоковидными глинами со стяжениями глауконита.

Толща 6 (мощность 1 м) представлена белесыми опесчененными опоками с пятнами ожелезнения.

Традиционно эти опоки картируются как сызранская свита, несмотря на то, что уже давно имеются данные о позднепалеоценовом возрасте этих отложений. Так, Г.Э. Козлова (1999) относит комплексы радиолярий из этих отложений к зоне *Petalospyris foveolata* позднего палеоцена. З.И. Глазер и др. (1977) выделяет по диатомеям зону *Trinacria ventriculosa*, также характерную для позднего палеоцена.

Диатомеи встречены единично в пачке 3, выше по разрезу массовой встречаемости достигают, начиная с пачки 5, представленной опоковидными глинами. Диатомеи массово присутствуют в двух образцах пачки 6 (песчанистые опоки). В целом состав диатомеи соответствует комплексу зоны *Trinacria ventriculosa* (рис. 5). В образцах 106–109 отмечается доминирование группы *Paralia* и *Costopyxis broschii* (Grunow) Gleser. Начиная с обр. 110, увеличивается количество *Stellarima* и *Ryxidicula weyprechtii* Grunow, в обр. 112 отмечается появление новых видов *Hemiallus*, *Anaulus*, увеличении количества *Pseudopodosira*, *Trochosisra*. Характерным элементом комплекса становится таксон, близкий к монотипному роду *Corticocornus* (?), широко распространенному в раннем палеоцене. Появление новой порции таких стратиграфических маркеров, как *Moisseevia uralensis*, *Ryxidicula moelleri*, *Anaulus aff. acutus*, *Craspedodiscus moelleri* говорит о том, что эту часть разреза можно отнести к верхней части зоны *Trinacria ventriculosa*. Морские палиноморфы выделить не удалось.

Скважина 50

Пробурена (рис. 2, 6, 8) в Николаевском районе Ульяновской области, в 3.5 км севернее с. Поника, в 340 м к северу от дороги Поника–Топарнино на водоразделе рр. Канадейка–Бекшанка. Отметка устья 285.35 м. Терригенно-кремнистые отложения мощностью около 85 м представлены тремя седиментационными пачками (снизу вверх). Описание дано по материалам Симбирской ГРЭ.

Саратовская свита, представлена пачкой зеленоватых глауконито-кварцевых песков (мощность 7 м), в верхней части сильно глинистых.

Камышинская свита с размывом перекрывает нижележащие осадки и представлена переслаиванием трепеловидных глин, глинистых и песчанистых разно-

стей диатомитов, темно-серых в нижней части и зеленоватых в верхней (пачки 23–18). Мощность 24.5 м. В базальной части прослой песчаника мощностью 0.5 м.

Пачка 17–10 мощностью около 40 м представлена в основном зеленовато-серыми песками с прослоями сливных песчаников мощностью до 1 м.

Диатомеи, в основном прекрасной сохранности, в массовом количестве присутствуют в интервале от 79 м до 54.5 м (за исключением интервала 68–66 м). В основании камышинской свиты диатомеи отсутствуют (интервал 76–73 м). Выше по разрезу состав комплекса диатомеи и силикофлягеллят типичен для зоны *Trinacria ventriculosa* позднего палеоцена (по Стрельниковой, 1992) и практически полностью соответствует таксономическому составу комплекса из нижней части диатомитов разреза Сенгилей. Присутствует полный набор зональных видов, характерных для этой зоны, состав сопутствующих видов различается крайне незначительно.

Основное отличие – большее таксономическое разнообразие рода *Anaulus*, представленного здесь *A. aff. acutus* Brun, *A. spp.* Характерным элементом комплекса так же, как и в разрезе Балашейка-1, является *Corticocornus* (?) sp. *A.* Более высока численность и разнообразие рода *Eunotogramma*, *Ryxidicula* (*P. discrepans* Hanna, *P. weyprechtii* Grunow, *P. turris* (Greville et Arnott) Strelnikova et Nikolaev). Отмечается невысокая численность силикофлягеллят, что может быть связано с понижением соленостью бассейна.

Нижняя часть изученного интервала с диатомеями (интервал 72–70 м) таксономически менее разнообразна, чем верхняя, отделенная интервалом с пониженным содержанием диатомей (68–66 м) и интервалом с доминированием *Paralia sulcata* gr., являющейся индикатором начала трансгрессии. На глубинах 76 и 64 м отмечается массовая встречаемость спикул губок. Верхняя часть интервала (62.5–54.5 м) содержит комплекс с максимальным таксономическим разнообразием.

Диноцисты, споры и пыльца растений были встречены (табл. III, IV) в образцах № 2537 (гл. 76 м) и № 2532–2526 (72–64 м). В образце № 2534 палиноморфы не встречены, мацерат представлен аморфным органическим веществом. Таксономический состав установленной ассоциации приведен на рис. 7 и в табл. III, IV. В комплексе преобладают акритархи (*Fromea laevigata* (Drugg) Stover and Evitt, *Paralecaniella indentata* (Deflandre and Cookson) Cookson and Eisenack, *Micrhystridium* spp.), празинофиты, сине-зеленые и желто-зеленые водоросли (*Botryococcus*). В спектрах примерно равное соотношение морских и наземных палиноморф. Состав диноцист количественно и качественно бедный. Сохранность палиноморф плохая, много рваных форм, обрывков тканей наземных растений, окатанные угли-

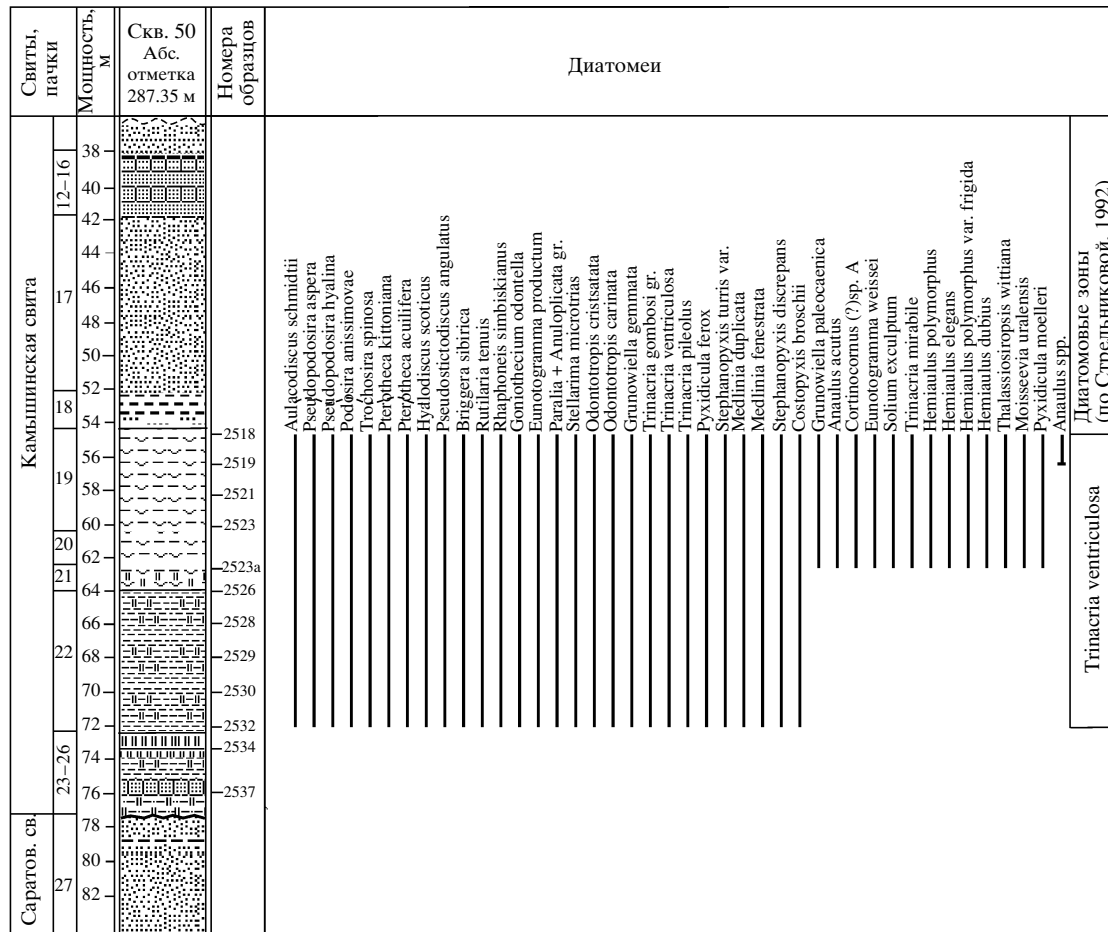


Рис. 6. Распространение диатомей и морских палиноморф в разрезе скв. 50.

Условные обозначения см. на рис. 3.

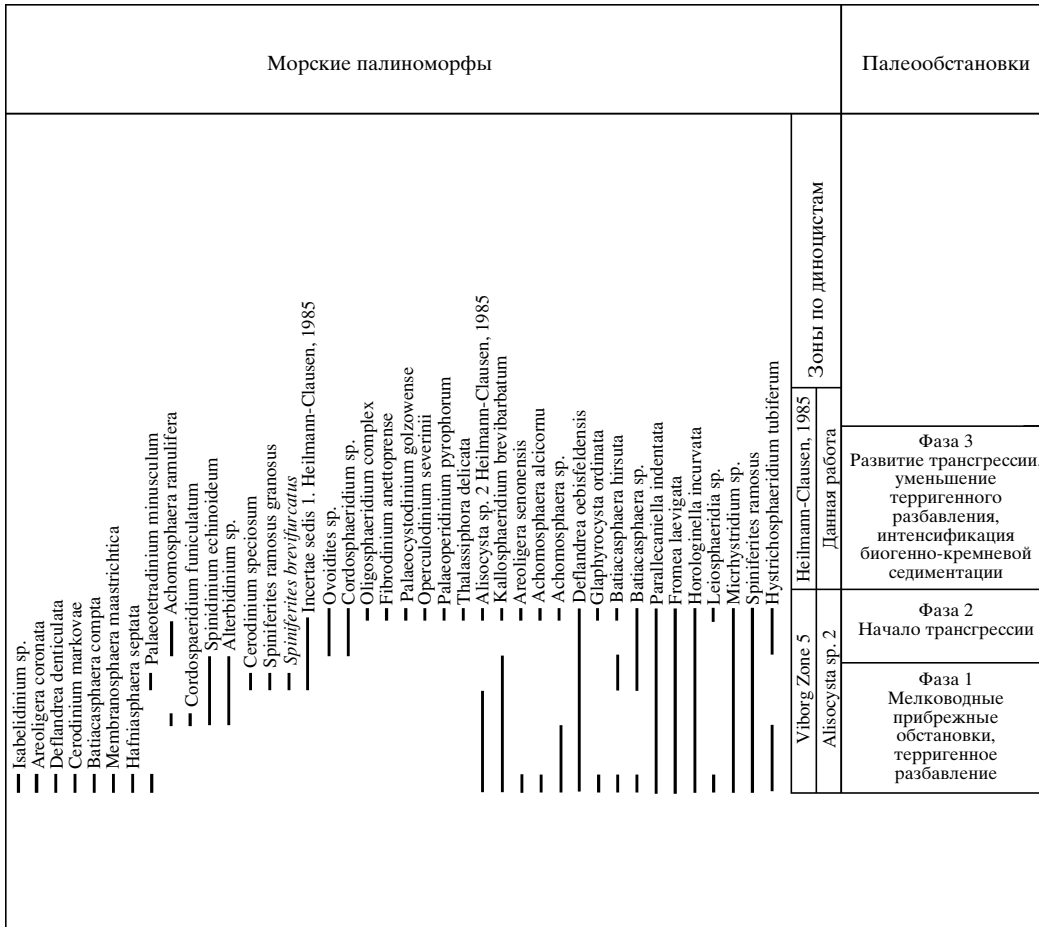
стые частицы. В интервале 70–66 м отмечается значительное количество переотложенных меловых таксонов (*Circulodinium distinctum* (Deflandre and Cookson) Jansonius, *Dinogymnum* sp., *Exochosphaeridium* sp., *Spongodinium deltiense* (Ehrenberg) Deflandre, *Alterbidinium recticornus* Vozzhennikova). В целом состав комплекса диноцист по присутствию в нем таких стратиграфически важных видов, как *Deflandrea oebisfeldensis* Alberti, *D. denticulata* Alberti, *Alisocysta* sp. 2 Heilmann-Clausen (1985), *Operculodinium severinii* (Cookson and Cranwell) Islam, соответствует комплексу зоны Viborg zone 5 (Heilmann-Clausen, 1985) и ее аналогу – зоне *Apectodinium hyperacanthum* (Powell, 1992). Однако отсутствие зонального вида данной зоны *Apectsodinium homomorphum*, не позволяет достаточно уверенно сопоставить эти стратиграфические уровни. Поэтому данный комплекс диноцист выделен нами в слои с *Alisocysta* sp. 2. В спорово-пыльцевой части спектра преобладает пыльца голосеменных, споры немногочисленны. В нижних пробах (интервал 76 и 72 м) доминирует

пыльца голосеменных семейства Pinaceae (*Pinus*, *Podocarpus*, *Cedrus*), вверх по разрезу происходит смена доминирования на представителей семейства Taxodeaceae–Cupressaceae. Среди покрытосеменных по всему разрезу преобладают виды рода *Trudopollis* (*T. arector* Pfl., *T. hemiperfectus* Pfl., *T. bulboformis* Zakl., *T. nonperfectus* Pfl., *Trudopollis* sp.).

Скважина 38

Пробурена в Николаевском районе в 0.8 км к северо-востоку от северо-западной окраины с. Поника, на левом склоне долины р. Канадейка. Абсолютная отметка устья – 255.09 м. Описание дано по материалам Симбирской ГРЭ. Разрез представлен терригенно-кремнистыми отложениями камышинской свиты (рис. 7, 8).

Пачки 29–9 (мощностью 22.5 м) представлены переслаиванием песков желто-зелено-серых, кварцево-глеконитовых, мелкозернистых и песчаников серых, кварцевых, мелкозернистых, крепких.



Пачки 6–1 (мощностью 28 м) представлены чередованием прослоев песка зелено-серого, тонкозернистого, глин серых и темносерых, до черных в нижней части, трепеловидных и песчаника тонкозернистого, крепкого, опоковидного.

Диатомеи встречены в одном из образцов (глубина 33 м) в средней части пачки 15. Обедненный комплекс диатомей типичен для зоны *Trinacria ventriculosa* (рис. 7).

Диноцисты, споры и пыльца растений встречены (табл. III, IV) в образцах №№ 2572–2565 (51–45 м). Таксономический состав палиноморф приведен на рис. 7. Сохранность палиноморф в целом плохая, отмечается большое количество рваных форм, много растительных тканей, углистых частиц. Ассоциация диноцист, акритарх и празинофитов близка к установленной в скважине 50, но отличается меньшим количеством акритарх и празинофитов.

В этом интервале выделяются два комплекса диноцист. Нижний комплекс (обр. № 2572) на основании совместного присутствия *Conneximura fimbriata* (Morgenroth) May, *D. denticulata*, свидетельствует о его принадлежности зоне Viborg zone 4, или терминальной части зоны *Alisocysta margarita* (Powell, 1992). Выше (обр. №№ 2571–

2665) установлен комплекс с *Alisocysta* sp. 2, аналогичный ассоциации, встреченной в скв. 50. С глубины 49 м, и вверх по разрезу отмечается значительное количество переотложенных меловых диноцист (*Circulodinium distinctum*, *Alterbidinium recticornus*, *Chatangiella* sp., *Dinogymnium* sp.), что, возможно, соответствует уровню 70 м с аналогичным переотложенным комплексом в скважине 50. Спорово-пыльцевой комплекс сходен в целом с комплексом, установленным в скв. 50, но беднее в количественном отношении.

Кузькино-1

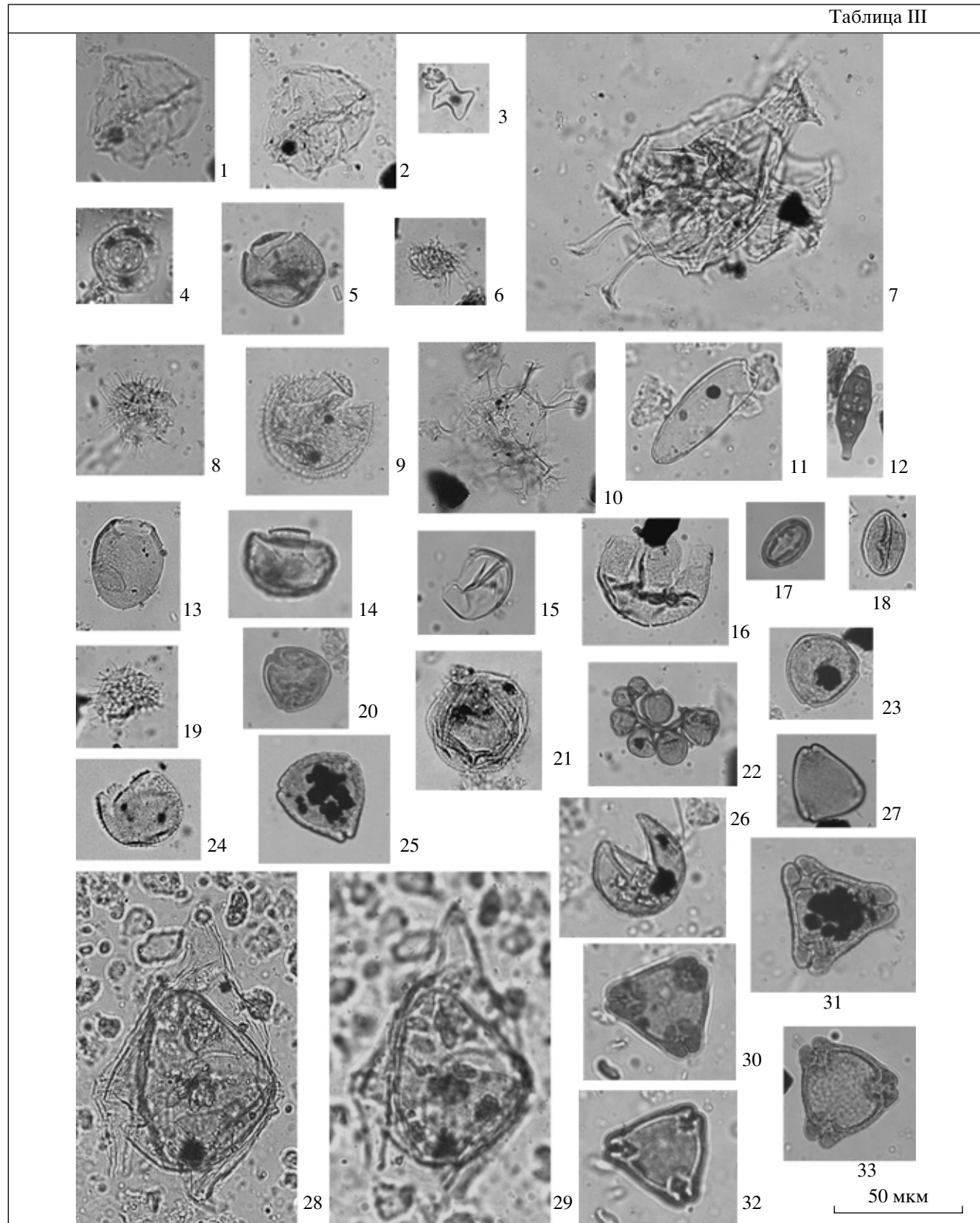
В песчаном карьере, расположеннном в 0.5 км на восток от восточной окраины с. Кузькино (справа от дороги на с. Новодевичье), вскрывают снизу вверх:

Пачка 1, мощностью около 8 м, представленная светло-желтыми косослоистыми песками с прослойми светло-коричневых глин мощностью до 3 см.

Пачка 2 мощностью около 1 м сложена светло-серыми (до белых) песками с большим количеством обломков плитчатых опок.

В двух образцах из пачки 1 обнаружены диатомеи и спикулы хорошей сохранности. Комплекс

Таблица III



диатомей не имеет явных признаков переотложения и типичен для зоны *Trinacria ventriculosa*. В составе доминирующего в нем рода *Ryxidicula* встречены *R. ferox*, *R. broschii*, *R. weyprechtii*. Тенденция к обновлению комплекса выражена в присутствии единичных *Craspedodiscus moelleri*, *Ryxidicula moelleri*, *Moisseevia uralensis*. Индикаторами верхней части зоны *Trinacria ventriculosa* также является присутствие *Cortinocornus (?) sp. A*, *Solutum exculptum*, *H. incurvus*. Комплекс характерен для прибрежных палеообстановок. Морские палиноморфы не обнаружены.

ОБСУЖДЕНИЕ РЕЗУЛЬТАТОВ

Проведенное впервые для этого региона изучение морских палиноморф показывает, что ассоциации морских палиноморф в краевых терригенно-кремнистых фациях Среднего Поволжья с высоким содержанием кремневых организмов имеют ограниченное стратиграфическое распространение и отличаются низким таксономическим разнообразием. Морские палиноморфы представлены диноцистами, акритархами, сине-зелеными водорослями и палинологическими остатками. В составе комплексов диноцист преобладают транзитные виды – *Kallosphaeridium*, *Areoligera*, *Achomosphaera* и др. До 35% комплекса палиноморф составляют акритархи (*Fromea*, *Micrhystridium* и др.) и сине-зеленые водоросли (*Botryosoccus* spp., *Ovoidites* spp.), косвенно свидетельствующие о привносе пресных вод в морской бассейн и относительной близости береговой линии.

Установлено три стратиграфических уровня по диноцистам, которые вполне сопоставимы с зональными комплексами Северо-Западной Европы (рис. 4, 8).

Нижний уровень установлен в отложениях саратовского цикла (разрез Сенгилей-2) и уверенно сопоставляется с зонами Viborg 4 (Heilmann-Clausen, 1985, 1994) и *Alisocysta margarita* (Powell, 1992), которые в общей шкале соответствуют зонам NP6 (часть) – NP8 по нанопланктону. Этот уровень представлен таксономически бедным

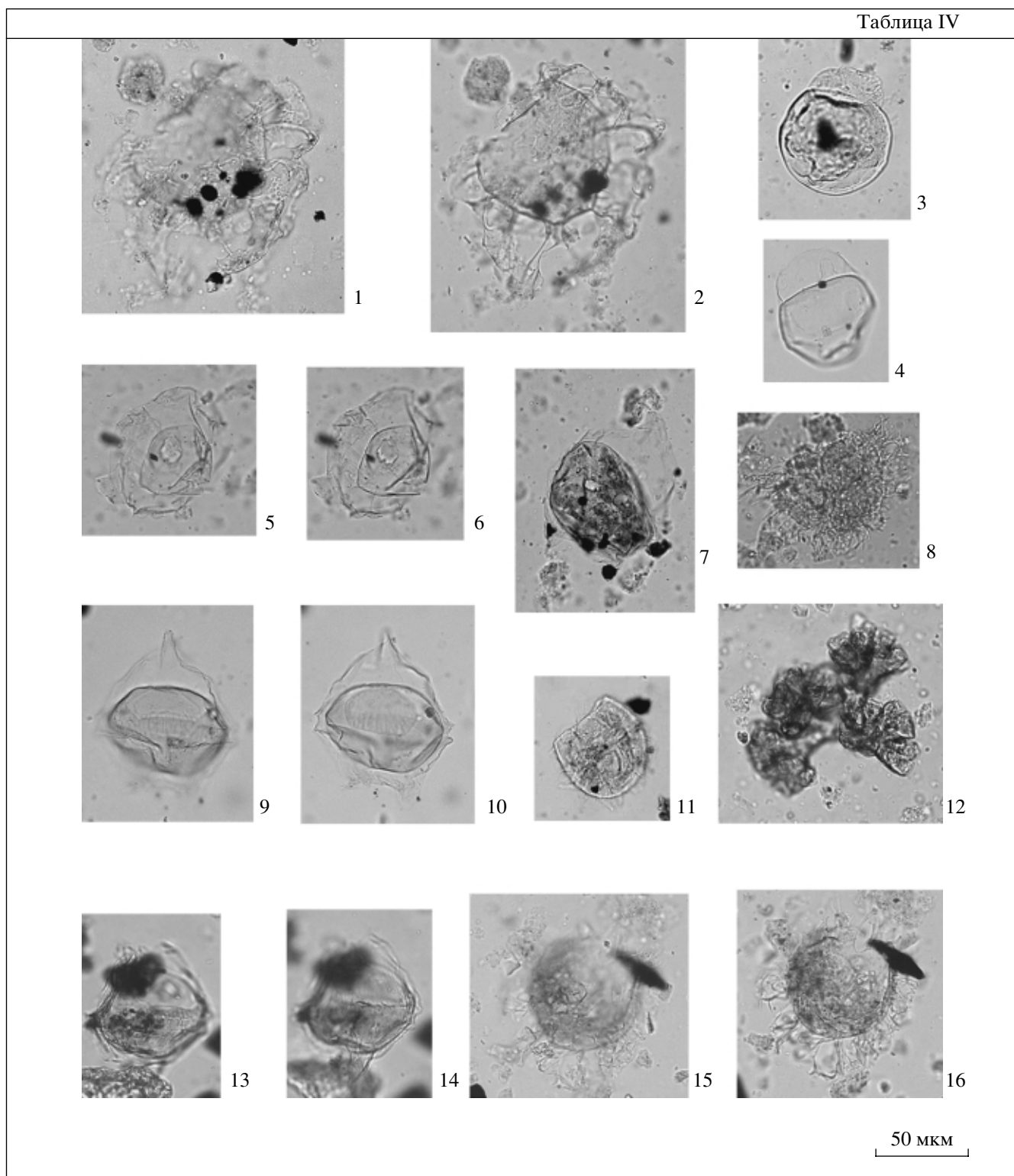
комплексом, но содержит зональные виды *Alisocysta margarita* и *D. denticulata*. Следующий уровень (нижний комплекс в скв. 38), отвечающий терминальной части зон Viborg 4 и *Alisocysta margarita*, установлен на основании присутствия *Conneximura fimbriata* (хотя данный вид и отмечен C. Heilmann-Clausen (1985) в единичных экземплярах в вышележащих отложениях), а также отсутствия более молодых таксонов. Точная стратиграфическая привязка самого верхнего уровня слоев с *Alisocysta* sp. 2 из скв. 38 и 50 осложняется отсутствием в них зональных видов-индексов, установленных для раннепалеогеновых зональных стратиграфических схем по данной группе. Однако анализ комплексов показал, что для корреляции с зональными шкалами по диноцистам для Северо-Западной Европы можно опираться на стратиграфические маркеры второго порядка. Наиболее полная степень сходимости комплекса с *Alisocysta* sp. 2 отмечается с ассоциацией диноцист из скважины Viborg-1 Датского бассейна (Heilmann-Clausen, 1985). Появление *Deflandrea oebisfeldensis*, *Alisocysta* sp. 2, *Operculodinium severinii*, *Incatae sedis* 1 Heilmann-Clausen отвечает уровню зоны Viborg 5. Поэтому данную ассоциацию можно сопоставить с нижней частью зон Viborg 5 и *Apectodinium hyperacanthum*. Данные зоны в Северо-Западной Европе коррелируются с зоной NP9 по нанопланктону.

Сходная по составу ассоциация диноцист – “Комплекс 5” ранее была установлена Г.Н. Александровой (2001) в скв. № 28 (г. Дубовка Волгоградской области) в интервале 38–39 м, который отнесен геологами к средней части пролейской свиты. Она охарактеризована постоянным присутствием *Alisocysta* sp. 2. По данным С. Heilmann-Clausen (1985, 1994) этот вид филогенетически сменяет *Alisocysta margarita* (Harland) Harland, который является видом-индексом предшествующей зоны Viborg 4 и входит в состав зонального комплекса Viborg 5. Таким образом, ассоциация диноцист с *Alisocysta* sp. 2, установленная в отложениях скважин 50, 38 и 28, устойчиво выделяется в позднепалеоценовых отложениях Ульяновского и Вол-

Таблица III. Морские палиноморфы позднего палеоцена Среднего Поволжья.

- 1–2 – *Senegalium* sp. cf. *S. dilwynense* (Cookson et Eisenack) Stover et Evitt, обр. 2532, скв. 50; 3 – *Horolinella incurvata* Cookson et Eisenack, обр. 2532, скв. 50; 4 – *Pterospermella* sp., обр. 2537, скв. 5; 5 – *Batiacasphaera baculata* Drugg, обр. 2532, скв. 50; 6, 8, 19 – *Micrhystridium* sp., обр. 2532, скв. 50; 7 – *Cordosphaeridium inodes* (Klumpp) Eisenack, обр. 2532, скв. 50; 9 – *Operculodinium severinii* (Cookson et Cranwell) Islam, обр. 2532, скв. 50; 10 – *Spiniferites ramosus* (Ehrenberg) Mantell, обр. 2528, скв. 50; 11 – *Fromea laevigata* (Drugg) Stover et Evitt, обр. 2537, скв. 50; 12 – спора грибов, обр. 2530, скв. 50; 13 – *Fromea chytra* (Drugg) Stover et Evitt, обр. 2530, скв. 50; 14 – *Kallosphaeridium* sp., обр. 2530, скв. 50; 15 – *Batiacasphaera sphaerica* Stover, обр. 2530, скв. 50; 16 – *Kallosphaeridium* sp. cf. *K. yorubaense* Jan du Chêne et Adediran, обр. 2530, скв. 50; 17 – *Tricolporopollenites*, обр. 2530, скв. 50; 18 – *Taxodiaceae-Cupressaceae* sp., обр. 2532, скв. 50; 20 – *Trudopollis pompeckii* (R. Pot.) Pfl., обр. 2528, скв. 50; 21 – *Leiosphaeridia* sp., обр. 2530, скв. 50; 22 – органические остатки клетки микрофораминиферы (microforaminiferal lining), обр. 2532, скв. 50; 23 – *Triporopollenites* sp., обр. 2532, скв. 50; 24 – *Kallosphaeridium yorubaense*, обр. 2530, скв. 50; 25 – *Triatropipollenites* sp., обр. 2532, скв. 50; 26 – *Taxodiaceae-Cupressaceae* sp., обр. 2537, скв. 50; 27 – *Trudopollis rugosus* (Martyn.) Zakl., обр. 2528, скв. 50; 28–29 – *Deflandrea oebisfeldensis* Alberti, обр. 2537, скв. 50; 30, 32 – *Trudopollis* sp. cf. *T. nonperfectus* Pfl., обр. 2537, скв. 50; 31 – *Trudopollis arector* Pfl., обр. 2530, скв. 50; 33 – *Trudopollis conrector*, обр. 2532, скв. 50.

Таблица IV

**Таблица IV.** Морские палиноморфы позднего палеоцена Среднего Поволжья.

1–2 – *Glaphyrocysta exuberans* (Deflandre et Cookson) Stovet et Evitt, обр. 2532, скв. 50; 3 – *Incertae sedis* sp. 1 sensu Heilmann-Clausen 1985, обр. 2532, скв. 50; 4 – *Incertae sedis* sp. 1 sensu Heilmann-Clausen 1985, обр. 2530, скв. 50; 5–6 – *Thalassiphora delicate* Williams et Downie, обр. 2537, скв. 50; 7 – *Deflandrea oebisfeldensis* Alberti, обр. 2537, скв. 50; 8 – *Areoligera* sp., обр. 2537, скв. 50; 9–10 – *Deflandrea oebisfeldensis* Alberti, обр. 2530, скв. 50; 11 – *Alisocysta* sp. 2 Heilmann-Clausen, обр. 2530, скв. 50; 12 – *Botryococcus* sp., обр. 2537, скв. 50; 13–14 – *Deflandrea* sp. – *Cerodinium* sp., обр. 2530, скв. 50; 15–16 – *Glaphyrocysta divaricata* (Williams et Downie) Stover et Evitt, обр. 2537, скв. 50.

гоградского Поволжья, отражая специфические фациальные условия этого региона в терминальном палеоцене. Отсутствие представителей рода *Apectodinium*, появление которого наблюдается на этом стратиграфическом уровне в более мористых областях Тетической области (Crouch et al., 2003), можно объяснить неблагоприятными для развития диноцист условиями (соленость, температура, активная гидрологическая обстановка и другие факторы). Косвенным подтверждением этого являются исчезновение диноцист выше по разрезу и массовое развитие диатомовых водорослей. Возможно, это связано с конкурентными отношениями этих двух групп planktona, или с их различной реакцией на изменение гидрологических условий.

Таким образом, хотя возраст комплекса остается дискуссионным, его стратиграфическое положение можно ограничить рамками нанопланктонной зоны NP9 (нижняя часть).

В пользу вывода о позднепалеоценовом возрасте данных отложений говорят и спорово-пыльцевые данные. Ассоциирующий с диноцистами споро-пыльцевой комплекс характерен для позднепалеоценовой камышинской свиты Нижней и Средней Волги (Кузнецова, 1970, 1973) и резко отличен от эоценовых ассоциаций, отражающих более аридный климат и широкое развитие сухолюбивой растительности. В позднем палеоцене преобладают виды родов стеммы *Normapolllis* Pfl. с доминированием рода *Trudopollis* Pfl., имеющие широкую географическую и узкую возрастную приуроченность. Пыльца *Trudopollis* по своему морфологическому строению сближается с некоторыми видами субтропических растений *Myrica*, *Myrtaceae*. Во время формирования камышинской свиты растительность была, скорее всего, субтропической, произраставшей в условиях относительно гумидного климата (Кузнецова, 1965). Е.Д. Заклинская (1963) предполагала наличие генетических связей представителей стеммы *Normapolllis* Pfl. с семействами *Haloragidaceae*, *Oenatheraceae*, *Lithraceae*, *Gunneraceae*, *Callitriaceae*, которые в настоящее время представлены в основном травянистыми растениями в Южном полушарии. Таким образом, преобладание “древесно-травянистой” растительности родов стеммы *Normapolllis*, а также смена доминирования родов семейства *Pinaceae* (предпочитающих хорошо дренированные почвы) на *Taxodiaceae-Cypressaceae* (произрастающих в основном в низинных и заболоченных условиях) постепенно снизу вверх по разрезу, свидетельствует о заболачивании территории, а не о возможном сценарии регрессирующего бассейна.

Смена доминирования снизу вверх по разрезу в скв. 38 видов семейства *Pinaceae* на *Taxodiaceae-Cypressaceae* в спектре голосемянных растений также свидетельствует об увеличении влажности климата,

и, возможно, его потепления, которое в конце палеоцена выразилось в глобальном событии, известном как термический максимум на границе палеоцена–эоцена (Paleocene-Eocene Thermal Maximum).

Характерной особенностью палинологических спектров является значительное количество желто-зеленых колониальных микроводорослей *Botryosphaera*, современные виды которого обитают в пресных болотах, прудах и озерах, а также в солоноватоводных водоемах и играют важную роль в накоплении сапропелей.

Полученные по диноцистам данные имеют крайне важное значение для уточнения возраста диатомовых зон. В разрезах скв. 38 и 50 (рис. 8) комплекс диатомовой зоны *Trinacria ventriculosa* установлен стратиграфически выше комплекса диноцист с *Alisocysta* sp. 2. Это позволяет более уверенно определить положение зоны *Trinacria ventriculosa*, которая в таком случае соответствует нижней части NP9.

Стратиграфическое положение диатомовой зоны *Hemiaulus proteus* в общей шкале основано на корреляции разреза Сенгилей-1 (Граное Ухо) с разрезами формации Fur (Дания) и полосатой свиты Соколовского карьера (Сев. Казахстан). Установлено (рис. 9), что зона *Hemiaulus proteus* sensu Strelnikova (Стрельникова, 1992) соответствует комплексу из средней части разреза StolleKlint/Knuden (интервал негативной серии пеплов от -26 до -19) и зоне *Coscinodiscus uralensis* sensu Radionova (Radionova et al., 2001), выделенной в средней части полосатой свиты Соколовского карьера. Эти интервалы в обоих разрезах соответствуют зоне *Apectodinium augustum* по диноцистам, которая, в свою очередь, сопоставляется с зонами NP9 (часть)–NP10(часть) по нанопланктону (Heilmann-Clausen, 1985, 1994; Iakovleva et al., 2001). В разрезе Соколовского карьера зональный комплекс зоны *Coscinodiscus uralensis* sensu Radionova встречен совместно с асце *Apectodinium* в прослое темных глин с повышенным содержанием органического вещества, который интерпретируется как уровень, отражающий негативное углеродное событие на границе палеоцена–эоцена (Iakovleva et al., 2001).

Интересно, что близкая к установленной в Среднем Поволжье и Тургае последовательность диатомовых биоэвентов наблюдается и в скв. 752 ODP в юго-восточной части Индийского океана (Fourtanier, 1991), где зоны по диатомеям и нанопланктону напрямую коррелированы с глобальным событием на границе палеоцена–эоцена (Nomura, 1991), проявившемся в вымирании бентоса (benthic extinction event – BIE) и негативным сдвигом кривой изотопа углерода (negative carbon isotope excursion – CIE). Здесь это событие приходится на границу между подзонами B and C зоны *Hemiaulus incurvus*. В разрезах Австрии и Дании (Egger et al., 2000; Heilmann-Clausen and Schmitz,

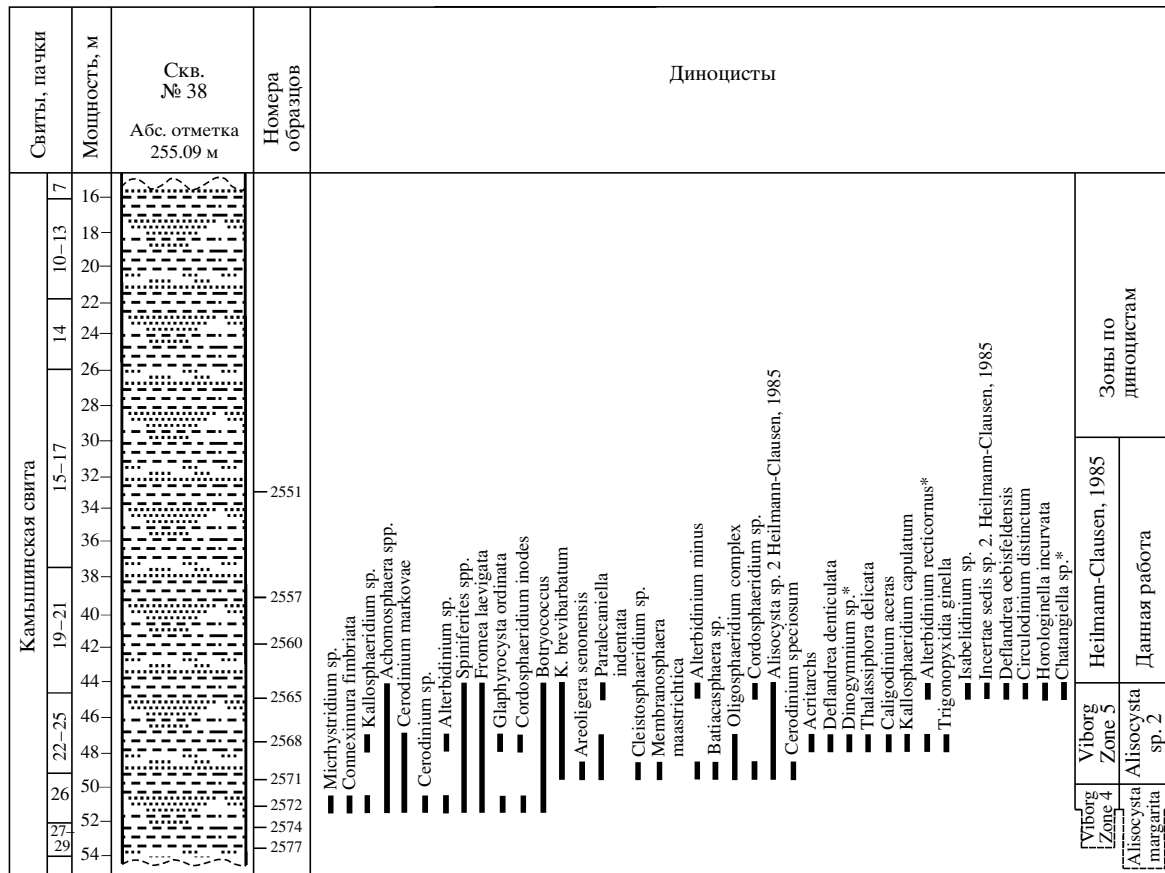


Рис. 7. Распространение диатомей и морских палиноморф в скв. 38.
Условные обозначения см. на рис. 3.

2000), уровень СЕЕ приходится на верхнюю часть зоны *Arpestdinium augustum*. Уровень негативного углеродного события в настоящее время предлагаются в качестве маркера границы палеоцен/эоцена (Luterbacher et al., 2004).

Значительная перестройка диатомовых комплексов, установленная в разрезе Граное Ухо при переходе от зоны *Trinacria ventriculosa* к зоне *Hemialulus proteus*, может быть также связана с этими глобальными событиями. Основные тенденции изменения диатомовых комплексов проявляются в появлении новых родов с морфологическими новациями, значительном обновлении видового и родового состава, вспышкой численности меловых видов. Аномальные морфотипы со сверхкоротким интервалом распространения, к которым можно отнести *Gyrocylindrus antiquus*, характерны для этого глобального события и у других групп планктона (Гаврилов, Щербинина, 2004; Gavrilov, Scherbinina, Oberhänsli, 2003).

Отличительной особенностью Среднего Поволжья является широкое развитие мощных (до 60 м) локальных линз диатомитов промышленного значения (рис. 2). Полученные данные показывают, что линзы диатомитов имеют разный воз-

раст – раннепалеоценовый в западной части (диатомиты сызранского литостратона в районе Инзы, Барыша, Шарлово) и позднепалеоценовый (камышинский литостратон) в его восточной и юго-восточной частях. По-видимому, на протяжении палеоценена происходило смещение диатомитовых фаций и, соответственно, границы позднепалеоценового бассейна к востоку. Существует несколько концепций, объясняющих широкое развитие биогенных кремнистых осадков в этом регионе. У.Г. Дистанов (1968а, б; Дистанов, Гамадеев, 1967; Дистанов и др., 1970) связывает накопление кремнистых пород в придельтовых участках шельфа с периодами повышенного поступления с суши растворенной кремнекислоты. Необходимые для этого условия – теплый, влажный муссонный климат и низменный, сильно пепленизированный рельеф. Близкая концепция подробно рассматривается Ю.О. Гавриловым с соавторами (Гаврилов, Щербинина, 2004), которые объясняют увеличение продуктивности водных бассейнов с периодами трансгрессий, увеличивающих поступление биогенных элементов с суши.

Диатомеи Зональная шкала (Стрельникова, 1992)	Палеообстановки
<i>Coscinodiscus decrescenoides</i>	
<i>Trinacria mirabile</i>	
<i>Pseudopodosira ferox</i>	
<i>Thalassiosiropsis wittiana</i>	
<i>Cortinocornus (?) sp. A</i>	
<i>Trinacria ventriculosa</i>	
<i>Grunowia gemmata</i>	
<i>Costopyxis broschii</i>	
<i>Trochosira mirabile</i>	
<i>Pseudopodosira anissimovae</i>	
<i>Pseudopodosira aspera</i>	
<i>Pseudopodosira hyalina</i>	
<i>Medlinia fenestrata</i>	
<i>Trinacria gombosi gr.</i>	
<i>Stellarina microtrias</i>	
<i>Eunotogramma weissei</i>	
<i>Stephanopyxis turris var.</i>	
<i>Pterotheca kittoniana</i>	
<i>Halodiscus scoticus</i>	
<i>Odontotropis cristata</i>	
<i>Trinacria ventriculosa</i>	
	Локальное уменьшение терригенного разбавления, увеличение продуктивности диатомей
	Сильное терригенное разбавление, отсутствие остатков фитопланктона, спикулы губок
	Нестабильная обстановка, терригенный снос, массовая встречаемость <i>Botryococcus</i>
	Доминирование спикул губок, мелководная обстановка

Другая группа исследователей (Стрельникова, 1974; Лисицын, 1978) связывает накопление диатомитов не столько с механическим поступлением питательных элементов с суши, сколько с активными гидродинамическими условиями в прибрежной зоне, обеспечивающими вертикальное перемешивание и постоянный вынос к поверхности биофильных элементов, что характерно для зон локальных апвеллингов. В частности, современные локальные апвеллинги в прибрежных районах образуются в результате воздействия сезонных ветров – муссонов. С сезонными ветрами связывают, в частности, образование полосы позднепалеоценовых–эоценовых диатомовых илов мощностью до 60 м в восточной части Северного моря – у побережья Северной Дании (п-ов Ютландия) и южной оконечности Норвегии (Thomsen et Danielsen, 1995; Mitlehner, 1996). Идеальной моделью накопления диатомитов является современный Калифорнийский залив, где образование диатомовых илов связано с сезонной муссонной циркуляцией. Можно предположить, что образование мощных толщ диатомитов в данном регионе происходило в условиях мелководного бассейна, и их накопление приурочено к прибрежным участкам с активным гидрологическим режимом (вертикальное перемешивание), вызванным муссонной циркуляцией. По данным У.Г. Дистанова (1968, 1970) опоковидные разности пород, замеща-

ющие диатомиты по направлению к югу и юго-востоку, отвечают более глубоким участкам бассейна с более высокими значениями рН. Данные по диатомеям также говорят о некоторых различиях в составе ассоциаций зоны *Trinacria ventriculosa* из более мористых фаций. В частности, в опоковидных разностях пород (разрезы Балашайка, скв. 38 и 50) отмечается более высокое содержание представителей родов *Anaulus*, *Cortinocornus* (?), а также *Ruxidicula weyprechtii*, *Hemiaulcus incurvus* по сравнению с комплексами из диатомитов Сенгилея.

Анализ фациального распределение кремневого и органикостенного планктона показывает, что в изученном районе слабо развиты фации с совместной встречаемостью диатомей и диноцист. Присутствие диноцист, как правило, приурочено к более глинистым разностям пород, и, по-видимому, отражает участки бассейна с более высокой эвтрофикацией и менее активным перемешиванием, относительную стратификацию бассейна. Возможно, отсутствие диноцист связано и с их плохой сохранностью в окислительных условиях.

Экологическая структура комплексов диатомей и морских палиноморф и их динамика в целом говорят о том, что осадконакопление происходило в заливе высокопродуктивного эпиконтинентального бассейна, который сохранял связь с

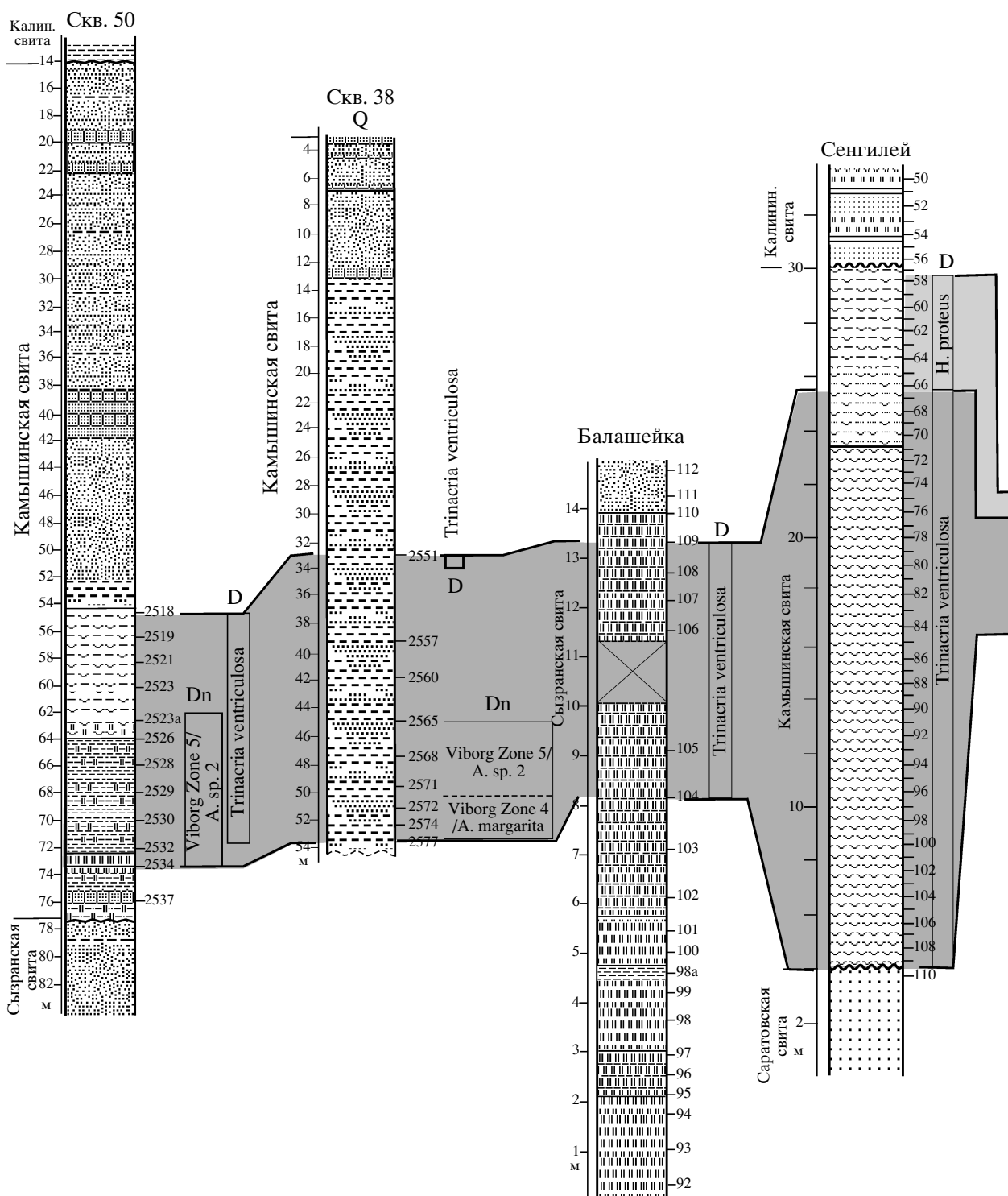
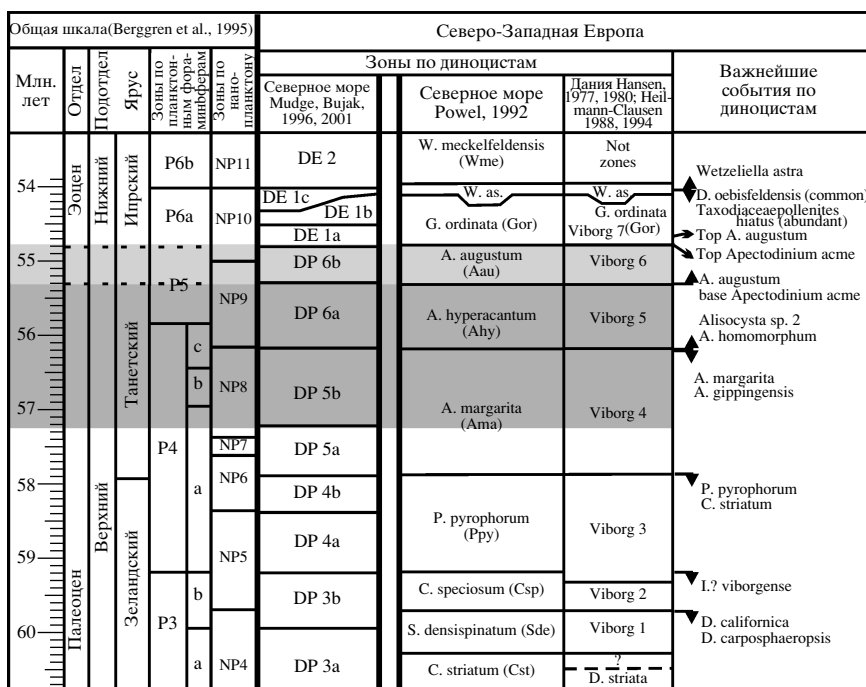


Рис. 8. Корреляция зон по диноцистам и диатомеям (выделены серым и светло-серым цветом) с общей шкалой.
Калинин. – калининская свита.

Тетисом и сопредельными бассейнами Северной Европы, особенно на фазе максимума трансгрессии, совпадающего с событием глобального термического максимума. В разрезе Сенгилей прослежены все фазы позднетанетской трансгрессии, отра-

женные в изменении соотношения доминирующих групп диатомей *Pyxidicula/Paralia*. На это также указывает прогрессирующее увеличение количества пыльцы *Taxodiaceae-Cupressaceae*, растительного детрита, акритарх, желто-зеленых и сине-зе-



ленных водорослей в разрезах скважин 38 и 50. На этом основании можно сделать вывод о постепенном наступлении морского бассейна на сушу, подъеме грунтовых вод, и как следствие – заболачивание прибрежных территорий.

Находки эндемичного таксона диатомовых водорослей *Gyrocylindrus* с аномальной морфологией и узким стратиграфическим интервалом в

Северном море и в Среднем Поволжье позволяют предположить существование связи этих бассейнов через “Польско-Литовский” и “Припятьский” “проливы” во время максимума позднепалеоценовой трансгрессии. Аргументами в пользу такого предположения являются близкие по составу диатомовые комплексы, найденные в самбийской свите Калининградской области (Стрельникова и др., 1978) и

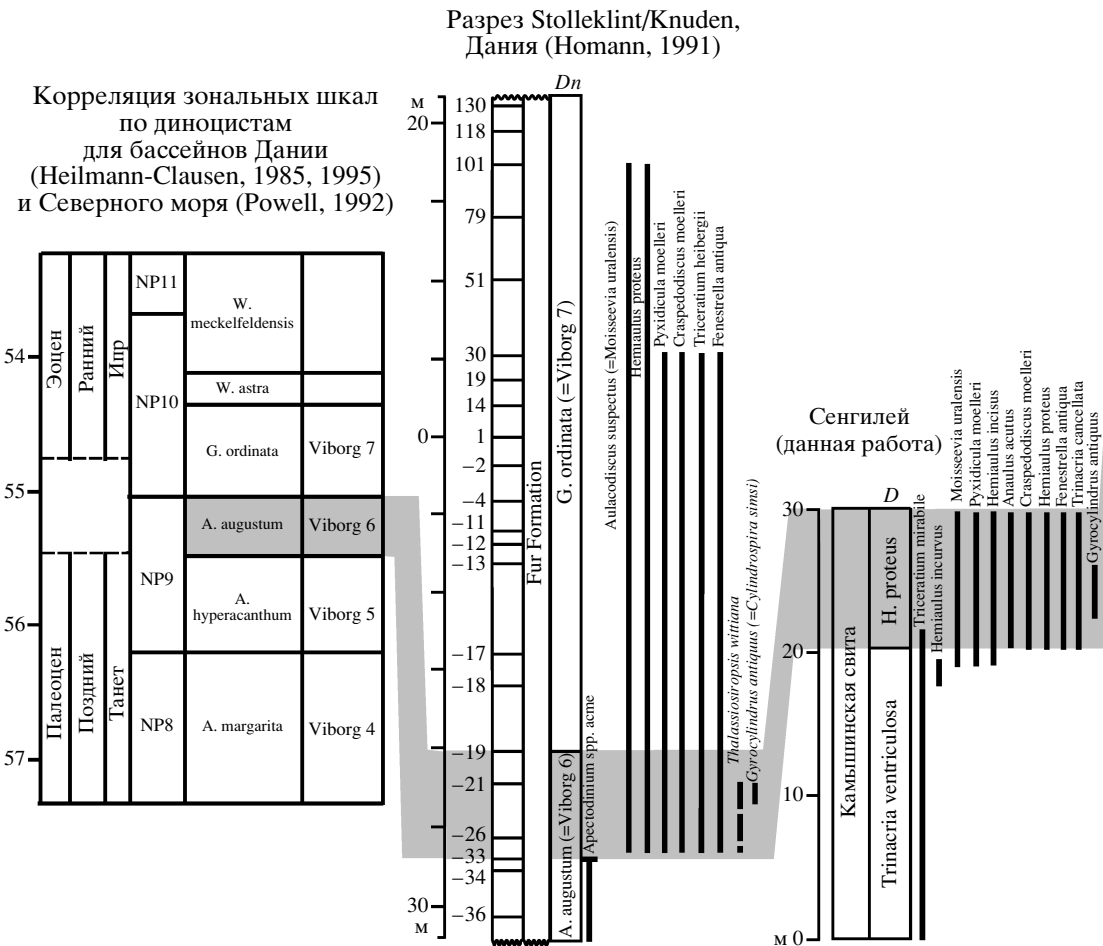


Рис. 9. Корреляция диатомовых зон разреза Сенгилей (выделены серым цветом) с разрезами Соколовского карьера (Казахстан), формации Фур (Дания) и скв. 752 ODP (юго-восточная часть Индийского океана). BEE (Benthic Extinction Event) – событие вымирания бентоса; CIE (Carbon Isotope Event) – событие изотопной аномалии углерода.

в вешенской свите Воронежской антиклизы (неопубликованные данные авторов). Более ослабленной представляется связь с Западно-Сибирским бассейном, на что указывают различия в составе комплексов диатомей – в частности, видовые различия в роде *Anaulus*, различные количественные характеристики *Hemialtus incurvus*. В то же время не исключена местная фациальная обусловленность этих различий, связанная с внутрибассейновой циркуляцией.

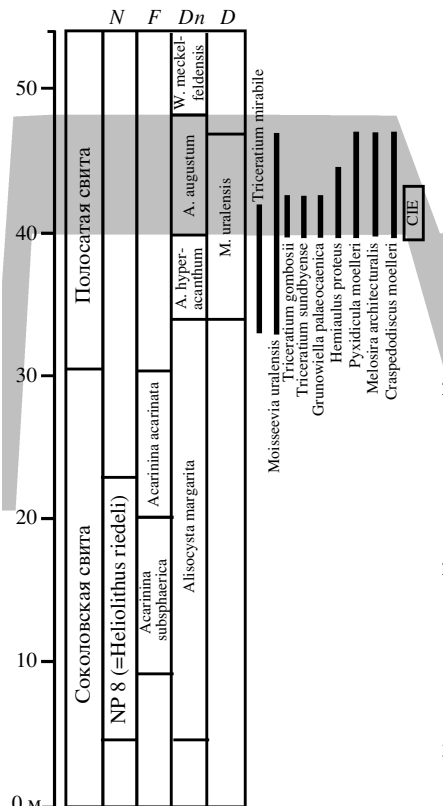
ЗАКЛЮЧЕНИЕ

Комплексное изучение диатомей и морских палиноморф из ряда разрезов Среднего Поволжья дает возможность уточнить стратиграфический объем, пространственное распространение и фациальный состав камышинского седиментационного цикла. По полученным данным, нижняя часть камышинского горизонта в Среднем Поволжье соответствует зонам по диноцистам Северной Европы – Viborg 4 (часть)–Viborg 5 (по

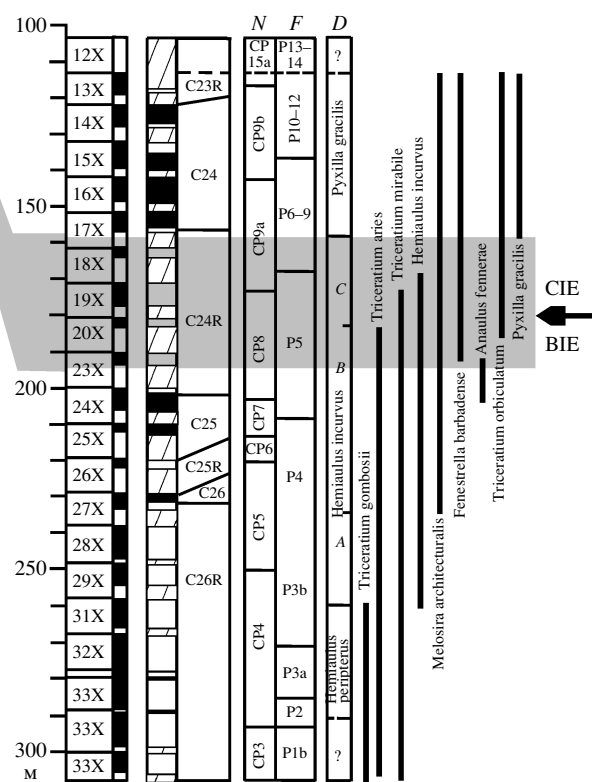
шкале Heilmann-Clausen, 1985, 1995) и зонам *Alisocysta margarita*-*Apectodinium hyperacanthum* (по шкале Powell, 1992). Его более высокие уровни отвечают диатомовым зонам *Trinacria ventriculosa* и *Hemialtus proteus* (по шкале Стрельниковой, 1992). Таким образом, объем камышинской свиты в Среднем Поволжье соответствует в общей шкале интервалу NP8 (часть)–NP9.

Биостратиграфические исследования позволили уточнить границы распространения камышинских отложений в Среднем Поволжье, которые приурочены, главным образом, к восточной и юго-восточной частям изучаемого региона. Данные по диатомеям показывают, что опоки, слагающие разрез карьера Балашейка, следует относить к камышинскому, а не к сызранскому, как считалось ранее, горизонту. Полученные биостратиграфические данные открывают перспективы для сравнения объемов камышинского седиментационного цикла в Среднем и Нижнем Поволжье и

Разрез карьера
Соколовский,
Казахстан
(Radionova et al., 2001)



Южная часть Индийского океана,
скв. ODP 752A (Fourtanier, 1991)



реконструкции развития Поволжско-Прикаспийского бассейна в танетское время.

Состав ассоциаций диатомей и морских палиноморф говорит о прибрежных палеообстановках с активным гидрологическим режимом и высокой продуктивностью вод. Установлены различия в составе диатомовых комплексов в различных фациях. По динамике количественного соотношения различных экологических групп диатомей (соотношение Pyxidicula/Paralia) выделены этапы изменения палеообстановок от стабильного бассейна к началу и максимуму трансгрессии.

При переходе от зоны *Trinacria ventriculosa* к зоне *Hemiallus proteus* установлена значительная перестройка диатомовых комплексов, проявляющаяся в новых, преимущественно монотаксонных родах с морфологическими новациями и коротким интервалом распространения (*Podosira*, *Craspedodiscus*, *Moisseevia*, *Fenestrella*, *Solium*, *Gyrociliendrus*), обновлении состава родов *Pyxidicula*, *Trinacria*, *Hemiallus* за счет мигрантов из Тетиса. По-видимому, это является проявлением глобального биотического кризиса при переходе от палеоцену к эоцену, связанного с термическим максимумом на границе палеоцена–эоцена, с негативным углеродным событием, вымиранием бентосных групп фауны.

Ассоциация диноцист, установленная в отложениях Среднего Поволжья, отражает специфические фациальные условия прибрежной части морского бассейна в палеоценовое время. Комплекс диноцист из камышинской свиты отличается от близких по составу ассоциаций Северной Европы (Датский бассейн, Северное море) крайне низким количественным и таксономическим разнообразием, а также отсутствием на этом стратиграфическом уровне *Apectodinium homotrophum*.

Комpleксы палиноморф с доминированием пыльцы стеммы *Normapolliis* Pfl. (*Trudopollis* spp.) и *Taxodiaceae-Cupressaceae* говорят о влажном, теплом, близком к субтропическому климате в камышинское время. Изменение в спектре голосеменных растений, проявляющееся в замещении семейства *Pinaceae* на *Taxodiaceae-Cupressaceae*, подтверждает трансгрессивный сценарий развития бассейна с заболачиванием прибрежных территорий в позднем палеоцене.

Авторы благодарят руководителей и сотрудников Симбирского геологического управления за помощь в проведении экспедиционных работ в Ульяновской области. Мы признательны сотрудникам ГИН РАН С. Гришину за обработку образ-

цов на кремневый планктон и Н.В. Горьковой за фотосъемку диатомей на сканирующем электронном микроскопе.

Работа выполнена в рамках проектов РФФИ № 05-05-64910 и Научной школы № 1615.2003.5.

СПИСОК ЛИТЕРАТУРЫ

Александрова Г.Н. Диноцисты, споры и пыльца камышинской свиты Поволжья // Актуальные проблемы палинологии на рубеже третьего тысячелетия. Тез. докл. IX Всероссийской палинологической конференции. М.: ИГиРГИ, 1999. С. 6–7.

Александрова Г.Н. Палинологическая характеристика палеоценовых отложений Нижнего Поволжья (Скв. № 28, г. Дубовка) // Стратиграфия. Геол. корреляция. 2001. Т. 9. № 6. С. 71–82.

Афанасьева Н.И. Роль фациальных условий в формировании палеогеновых диатомитов Среднего Поволжья // Тез. докл. 26-ой сессии ВПО. Свердловск: ИГиГ УрО АН СССР, 1980. С. 11–13.

Афанасьева Н.И. Особенности распространения диатомей в палеогеновых отложениях Среднего Поволжья // Систематика, эволюция, экология водорослей и их значение в практике геологических исследований. Киев, 17–19 ноября 1981. Тез. докл. II Всесоюзного палеоальгологического совещания. Киев: ИГН АН СССР, 1981. С. 105–106.

Афанасьева Н.И. Верхнепалеоценовые отложения среднего Поволжья по диатомеям и силикофлягеллятам // Проблемные вопросы региональной и местной стратиграфии фанерозоя Поволжья и Прикаспия. Материалы Первой региональной научно-практической конференции, Саратов, 9–12 октября 2001. Саратов: НВНИИГГ, 2001. С. 65.

Афанасьева Н.И. Биостратиграфия эоценовых отложений Среднего Поволжья по кремневому планктону. Материалы XIII Всероссийского микропалеонтологического совещания. Москва: Геологический ин-т РАН, 21–23 ноября, 2005. М.: Геос, 2005. С. 139.

Ахметьев М.А., Беньяновский В.Н. Стратиграфическая схема морского палеогена юга Европейской России // Бюл. МОИП. Отд. геол. 2003. Т. 78. Вып. 5. С. 40–51.

Гаврилов Ю.О., Щербинина Е.А. Глобальное биосферное событие на границе палеоценена и эоценена // Современные проблемы геологии. М.: Наука, 2004. С. 493–531.

Глазер З.И. Зональное расчленение палеогеновых отложений по диатомовым водорослям // Сов. геология. 1979. № 11. С. 19–30.

Глазер З.И. Новые данные о расчленении и корреляции нижнего палеогена Ульяновского Поволжья по диатомеям и силикофлягеллятам // Бюл. РМСК по центру и югу Русской платформы. М.: Росгеолфонд, 1993. Вып. 2. С. 120–123.

Глазер З.И. Сопоставление этапов развития палеогеновой диатомовой флоры морских эпиконтинентальных и океанических бассейнов // Стратиграфия. Геол. корреляция. 1994. Т. 2. № 1. С. 103–107.

Глазер З.И. Комплексы диатомей и силикофлягеллят – показатели синхронности диатомитов среднего Поволжья, Дании и океанических осадков нижнего па-

леогена // Современный и ископаемый планктон Мирового океана. М.: Наука, 1995. С. 57–63.

Глазер З.И., Кузнецова Т.А., Афанасьева Н.И. О возрасте и фациальной принадлежности диатомитов Среднего Поволжья // Сов. геология. 1977. № 8. С. 113–119.

Диатомовый анализ. Л.: Госгеолиздат, 1949. Т. 1. 239 с.

Диатомовые водоросли СССР. Ископаемые и современные. Л.: Наука, 1974. 402 с.

Дистанов У.Г. Литолого-палеогеографическая характеристика палеоценена, раннего и среднего эоцена среднего Поволжья // Казань. Тр. Казанского геол. ин-та. 1968а. № 19. С. 9–15.

Дистанов У.Г. Об условиях кремненакопления в палеоценовом бассейне Поволжья и Прикаспия // Докл. АН СССР. 1968б. Т. 180. № 1. С. 204–207.

Дистанов У.Г., Гамадеев Р.А. Кремнистые породы (опоки и диатомиты) палеогена Ульяновско-Куйбышевского Поволжья // Сов. геология. 1967. № 1. С. 135–141.

Дистанов У.Г., Копейкин В.А., Кузнецова Т.А., Незимов В.Н. Кремнистые породы (диатомиты, опоки, трепелы) верхнего мела и палеогена Урало-Поволжья // Тр. Казанского геол. ин-та. 1970. Вып. 23. С. 331.

Жузе А.П. Диатомеи и силикофлягелляты палеоценена в осадках Тихого, Индийского и Атлантического океанов // Морская микропалеонтология. М.: Наука, 1982. С. 131–144.

Заклинская Е.Д. Пыльца покрытосеменных и ее значение для обоснования стратиграфии верхнего мела и палеогена. М.: Изд-во АН СССР, 1963. 256 с.

Козлова Г.Э. Радиолярии палеогена бореальной области России. Практическое руководство по микрофауне России. Т. 9. СПб.: ВНИГРИ, 1999. 323 с.

Козлова Г.Э., Стрельникова Н.И. Значение разреза Усть-Манынской скважины 19У для зонального расчленения палеогена Западной Сибири // Среда и жизнь на рубежах эпох кайнозоя в Сибири и на Дальнем Востоке. Новосибирск: Наука, 1984. С. 70–78.

Кузнецова Т.А. Пыльца из камышинских отложений Среднего Поволжья // Бюл. МОИП. Отд. геол. Т. XL(4). 1965. С. 75–79.

Кузнецова Т.А. Споро-пыльцевые спектры камышинских отложений Нижней Волги // Докл. АН СССР. Т. 190. № 1. 1970. С. 169–172.

Кузнецова Т.А. Палинологические критерии для корреляции и стратиграфического расчленения палеогеновых отложений Поволжья // Палинология кайнофита. Тр. III Межд. Палинологической конференции. М.: Наука, 1973. С. 55–60.

Лисицын А.П. Процессы океанской седиментации. Литология и геохимия. М.: Наука, 1978. 392 с.

Мусатов В.А., Запорожец Н.И. Эоценовые отложения Среднего Поволжья. Стратиграфические и номенклатурные проблемы // Недра Поволжья и Прикаспия. 2000. Вып. 22. С. 22–29.

Николаев В.А., Харвуд Д.М. Морфология, таксономия и система классификации центральных диатомовых водорослей. СПб.: Наука, 2002. 118 с.

Орешкина Т.В. Перестройка диатомовых комплексов в разрезе Граное Ухо (Сенгилей, Ульяновская область) и глобальный биотический кризис на границе

- палеоценена–эоцена // Современные вопросы геологии. М.: Научный мир, 2003. С. 353–355.
- Пыльцевой анализ / Ред. Покровская И.М. М.: Гос. изд-во геол. лит-ры. 1950. 571 с.
- Постановления МСК и его постоянных комиссий. 2001. Вып. 32. С. 18–20.
- Рогозин Г.С.* Материалы к изучению кремнистой глины и инфузорной земли Симбирской губернии Карсунского уезда // Зап. Симбирск. обл. ест.-ист. музея. 1913. Вып. 1. С. 1–41.
- Стрельникова Н.И.* Условия образования кремнистых пород мела и палеогена Западной Сибири // Сыревая база кремнистых пород (диатомиты, опоки, трепелы, спонголиты). М.: Наука, 1974. С. 20–27.
- Стрельникова Н.И.* Палеогеновые диатомовые водоросли. СПб.: Изд-во СПб. ун-та, 1992. 312 с.
- Стрельникова Н.И., Каплан А.А., Травина М.А.* Палеогеновые диатомеи, силикофлягелляты и эбрииды Калининградской области. Морская микропалеонтология. М.: Наука, 1978. С. 57–65.
- Стрельникова Н.И., Николаев В.А.* Новый род *Gyrosulindrus* (*Bacillariophyta*) из палеогеновых отложений России и Дании // Ботан. журн. 1995. Т. 80. № 8. С. 93–95.
- Brun J.* Diatomées miocènes, descriptions des espèces // Le diatomiste. 1986. V. 2. P. 229–247.
- Crouch E.M., Brinkhuis H., Visscher H. et al.* Late Paleocene-early Eocene dinoflagellate cyst record from the Tethys: Further observations on the global distribution of *Apectodinium* // Causes and Consequences of Globally Warm Climates in the Early Paleogene / Eds Wing S.L., Gingerich P.D. et al. Geol. Soc. Amer. Special Paper. Boulder, Colorado: 2003. V. 369. P. 113–131.
- Ehrenberg C.G.* Microgeologie. Leipzig: 1854. 377 S.
- Egger H., Heilmann-Clausen C., Schmitz B.* The Paleocene/Eocene-boundary interval of a Tethyan deep-sea section (Austria) and its correlation with the North Sea basin // Bull. Soc. Geol. France. 2000. V. 171. № 2. P. 207–216.
- Fourtanier E.* Paleocene and Eocene diatom stratigraphy and taxonomy of eastern Indian ocean site 752 // Proceedings of the Ocean Drilling Program, scientific results / Eds Weissel J., Peirce J. et al. College Station, Texas. Ocean Drilling Program. 1991. V. 121. P. 171–187.
- Gavrilov Yu.O., Scherbinina E.A., Oberhänsli H.* Paleocene-Eocene boundary events in the northeastern Peri-Tethys // Causes and Consequences of Globally Warm Climates in the Early Paleogene / Eds Wing S.L., Gingerich P.D. et al. Geol. Soc. Amer. Special Paper. Boulder, Colorado: 2003. V. 369. P. 147–168.
- Gombos A.M.* Late Paleocene diatoms in the Cape basin // Initial Reports of the Deep Sea Drilling Project / Eds Hsu K.J., La Breque J.L. et al. Washington: 1984. V. 73. P. 495–512.
- Grunow A.* Die Diatomeen von Franz Josefs-Land // Denkschr. Kaiserl. Akad. Wiss. Math.-Naturwiss. Class. Wien: 1884. Bd. 48. Abth. 2. P. 53–112.
- Harwood D.* Upper Cretaceous and Lower Paleocene diatom and silicoflagellates stratigraphy of Seymour Island, eastern Antarctic Peninsula // Geol. Soc. America Mem. 1988. V. 169. P. 55–129.
- Heilmann-Clausen C.* Dinoflagellate stratigraphy of the uppermost Danian to Ypresian in the Viborg 1 borehole, central Jylland, Denmark // Danmarks Geol. Undersogelse. 1985. № A7. P. 1–69.
- Heilmann-Clausen C.* Review of Paleocene dinoflagellates from the North Sea region // GFF. 1994. V. 116. (1). P. 51–53.
- Heilmann-Clausen C., Schmitz B.* The late Paleocene thermal maximum $C^{13}C$ excursion in Denmark? // GFF. Stockholm: 2000. V. 122. P. 70.
- Homann M.* Die Diatomeen der Fur-Formation (Alttertiär) aus dem Limfjord-Gebiet, Nordjutland/Danemark // Geol. Jahrbuch. 1991. Reihe A. Heft 123. P. 3–285.
- Iakovleva A.I., Brinkhuis H., Cavagnetto C.* Late Paleocene-Early Eocene dinoflagellate cysts from the Turgay Strait, Kazakhstan; correlations across ancient seaways // Palaeogeogr., Palaeoclimatolog., Palaeoecolog. 2001. V. 172. P. 243–268.
- Khokhlova I.E., Oreshkina T.V.* Early Paleogene siliceous microfossils of the Middle Volga region: stratigraphy and paleogeography // Geodiversitas. 1999. V. 21. № 3. P. 429–451.
- Luterbacher H.P., Ali J.R., Brinkhuis H. et al.* The Paleogene period // A Geologic Time Scale 2004 / Eds Gradstein F.M., Ogg J.G. et al. Cambridge Univ. Press, 2004. P. 384–408.
- McQuoid M.R., Hobson L.A.* Assessment of palaeoenvironmental conditions on Southern Vancouver Island, British Columbia, Canada, using the marine tychoplankton *Paralia sulcata* // Diatom research. 1998. V. 13. № 2. P. 311–321.
- Mitlehner A.G.* Palaeoenvironments in the North Sea Basin around the Paleocene-Eocene boundary: evidence from diatoms and other siliceous microfossils // Correlation of the Early Paleogene in Northwest Europe / Eds Knox R.W., Corfield R.M. et al. Geol. Soc. Special Publication. 1996. V. 101. P. 255–273.
- Mitlehner A.G.* Cylindrospira, a new diatom genus from the Paleogene of Denmark with palaeoecological significance // Diatom Research. 1995. V. 10. № 2. P. 321–331.
- Mudge D.C., Bujak J.P.* Paleocene biostratigraphy and sequence stratigraphy of the UK central North sea // Marine and Petroleum geol. 1996. V. 13. P. 295–312.
- Nomura R.* Paleoceanography of upper Maestrichtian to Eocene benthic foraminiferal assemblages at sites 752, 753, and 754, Eastern Indian ocean // Proceedings of the Ocean Drilling Program, scientific results / Eds Weissel J., Peirce J. et al. College Station, Texas, Ocean Drilling Program, 1991. V. 121. P. 3–24.
- Oreshkina T.V., Oberhänsli H.* Diatom turnover in the early Paleogene diatomites of the Sengiley section, Middle Povolzhie, Russia: A response to the Initial Eocene Thermal maximum? // Causes and Consequences of Globally Warm Climates in the Early Paleogene. Geol. Soc. America Special Paper / Eds Wing S.L., Gingerich P.D. et al. Boulder, Colorado, 2003. V. 369. P. 169–179.
- Pantocsek J.* Beiträge zur Kenntnis der Fossilien Bacillaren Ungarns. Nagy-Tapolcsány, 1886–1992 (1 Auf.), Berlin-Pozsony, 1903–1905 (2 Auf.) Bd. 1, 76 S. Bd. 2, 122 S. Bd. 3, 118 S.
- Powell A.J.* Dinoflagellates cysts of the Tertiary system // A stratigraphic index of dinoflagellates cysts. British Micropaleontol. Soc. Publ. series, Chapman, Hall / Ed. Powell A.J. 1992. P. 152–251.
- Radionova E.P., Beniamovski V.N., Iakovleva A.I. et al.* Early Paleogene transgressions: Stratigraphical and sedimentological evidence from the northern Peri-Tethys // Causes and Consequences of Globally Warm Climates in the Early Paleogene. Geol. Soc. of America. Special Paper / Eds Wing S.L., Gingerich P.D. et al. Boulder, Colorado: 2003. V. 369. P. 239–261.
- Radionova E.P., Khokhlova I.E., Beniamovsky V.N. et al.* Paleocene/Eocene transition in the Northeastern Peri-Tethys area:

- Sokolovskiy key section of the Turgay Passage (Kazakhstan) // Bull. Soc. Géol. France. 2001. T. 172. № 2. P. 245–256.
- Schmidt A.* Atlas der Diatomaceen-Kunde, Begründet von A. Schmidt, fortgesetzt von M. Schmidt / Eds. Fr. Fricke, Heiden H. et al. Aschersleben. Leipzig-Berlin: 1874–1959. Taf. 481.
- Schrader H.J., Fenner J.* Norwegian sea Cenozoic diatom biostratigraphy and taxonomy // Initial Repts of DSDP. 1977. V. 38. Part 1. P. 921–1099.
- Thomsen E., Danielsen M.* Transitional Palaeocene-Eocene ash-bearing diatomite in the eastern North Sea // Tertiary Research. 1994. V. 14. Parts 3–4. P. 111–120.
- Van Heurck H.* Synopsis des diatomées de la Belgique. Anvers. 1880–1885. 236 p.
- Weisse J.E.* Microscopische analyse eines organischen Pjlierschiefers aus dem Gouvernement Simbirsk // Bull. Acad. Imp. Sci. St.-Peterburg. 1954. T. 2. S. 237–250.
- Witt O.* Über den Polierschifer von Archangels-Kurojedovo in Gouv. Simbirsk // Verh. Russ. Mineralog. Ges. 1886. Ser. 2. Bd. 22. S. 137–177.
- Zong I.* Implications of *Paralia sulcata* abundance in Scottish isolation basins // Diatom Research. 1997. V. 12. № 1. P. 125–150.

Рецензент М.А. Ахметьев